

Instituto de Física Teórica
Universidade Estadual Paulista

TESE DE DOUTORAMENTO

IFT/T.003/06

Teorias Semiclassica e Efetiva da Gravitação

Ricardo Paszko

Orientador

Prof. Dr. Antonio Accioly

Novembro de 2006

Agradecimentos

Agradeço ao Prof. Accioly por ter acreditado em mim desde o início.

Agradeço a Marília, Emilia, todos os meus amigos e a minha família pela enorme paciência que tiveram comigo nestes anos de trabalho.

Também agradeço a toda comunidade do IFT pela hospitalidade e a CAPES pelo apoio financeiro integral.

R esumo

Analisam os o espalhamento de partículas quânticas por um campo gravitacional fraco, tratado com o campo externo, em primeira e segunda ordens de perturbação. Essa análise acusa violações do Princípio da Equivalência em relação ao spin | em primeira ordem | , e em relação à energia | em segunda ordem . Verificam-se que os resultados mencionados são equivalentes aqueles obtidos por intermédio da Teoria Efetiva da Gravitação, no limite em que uma das massas é muito maior do que as outras energias envolvidas. Discutem-se também algumas aplicações de nossa investigação, tais como a determinação de um limite superior para a massa do fóton e a possibilidade de detecção em um futuro não muito distante dessas violações do Princípio da Equivalência.

Palavras Chaves: gravitação; teoria semi-clássica; teoria efetiva; espalhamento.

Áreas do conhecimento: Teoria de Campos (1050300-5); Gravitação (1050103-7).

A bstract

First and second order corrections for the scattering of different types of particles by a weak gravitational field, treated as an external field, are calculated. These computations indicate a violation of the Equivalence Principle: to first order, the cross-sections are spin dependent; if the calculations are pushed to the next order, they become dependent upon energy as well. Interesting enough, the aforementioned results are equivalent to those obtained by means of the so-called Elective Theory of gravitation, in the limit in which one of the masses is much greater than all the other energies involved. We discuss also some applications of our research, such as the determination of an upper bound for the photon mass, and the possible detection, in the foreseeable future, of these violations of the Equivalence Principle.

K ey W ords: gravity; semi-classical theory; elective theory; scattering.

Sumário

Introdução	3
1 Regras de Feynman	5
2 Campo Externo - 1ª ordem	13
2.1 Klein-Gordon	14
2.2 Dirac	15
2.3 Maxwell	16
2.4 Proca	17
2.5 Einstein	17
2.6 Teorema	18
3 Campo Externo - 2ª ordem	20
3.1 Escalar	20
3.2 Foton	24
4 Igualdade entre as teorias Semiclassica e Efetiva da Gravitação	28
4.1 NveldeArvore	28
4.2 NveldeLoop	29
4.3 Potencial em Ordem G^2	33
5 Aplicações	34
5.1 Massa do foton	34
5.2 Violacao do Princípio da Equivaléncia	35
5.3 Lentes Gravitacionais	37
5.3.1 Anel de Einstein	38

6 Ep logo	39
A Integrais em 3D	42
A.1 Cálculo de I , I^i e I^{ij}	42
A.2 Integrais Utéis	44
B Integrais em 4D	45
C De exão classica de part culas m assivas e sem m assa	46
D De exão gravitacional pelo m etodo de JW KB	48
R eferências Bibliogra cas	51

Introdução

Poucos anos depois da Teoria Quântica de Campos (TQC) ser inventada, Leon Rosenfeld [1] fez a primeira tentativa de quantizar a Relatividade Geral.

Ele seguia um a sugestão de Werner Heisenberg de que talvez as auto-energias pudessem ser nulas na ausência de campos de matéria. Mas, ao tentar calcular o campo gravitacional produzido por um campo eletromagnético e a auto-energia do graviton, acabou encontrando os infinitos usuais da TQC.

A primeira tentativa real de quantização foi feita cerca de 20 anos depois por Suryaj Gupta [2], quantizando o campo gravitacional linearizado por meio do mesmo método desenvolvido por ele para a QED (Eletrodinâmica Quântica) [3].

Posteriormente, Gupta aplicou o tratamento para o campo não linearizado [4], encontrando divergências mais severas que na QED, e isso sugeriu que a teoria não fosse renormalizável.

No início dos anos 60, Richard Feynman descreveu a necessidade dos 'ghosts' em cálculos envolvendo loops de gravitons [5]. Seu argumento foi reafirmado depois, o que pode ser encontrado nas referências [6, 7, 8].

Na mesma época, Christian Müller propôs a Teoria Semiclassica da Gravitação, em que a matéria é considerada um campo clássico enquanto todos os outros campos são quantizados [9].

Em 1973, Gerard 't Hooft e Martinus Veltman [10] zeraram o primeiro cálculo mostrando que a teoria perturbativa da gravitação não é renormalizável em 1 loop na presença de matéria, mas que poderia ser renormalizável com o campo livre.

Mas, em 1985, Marc Gómez e Augusto Sagnotti mostraram que a teoria livre não é renormalizável em 2 loops [11].

Isso fez com que os cálculos perturbativos fossem abandonados, ainda mais com o renascimento da teoria canônica não-perturbativa nos trabalhos de Abhay Ashtekar [12].

Somente em 1994, nos trabalhos de John D onoghue [13], houve o ressurgimento da teoria perturbativa da gravitação, agora vista com o um a teoria efetiva, ou seja, válida em baixas energias.

No nosso trabalho consiste em demonstrar que, em ambas as teorias Sem iclassica e Efetiva da Gravitação, existem pequenos desvios do Princípio da Equivalência. Apesar de pequenos, poderão ser observados em um futuro próximo.

Com elas os extraímos as Regras de Feynman no Capítulo 1. Já no Capítulo 2, calculamos o espalhamento de diversas partículas em 1ª ordem por um campo gravitacional externo fraco. No Capítulo 3, calculamos em 2ª ordem e, no capítulo seguinte, verificamos a igualdade entre a Teoria Efetiva e a Teoria Sem iclassica. No Capítulo 5, mostramos algumas aplicações para os resultados obtidos e encerram os com a conclusão.

Tentamos manter uma certa continuidade ao longo de nosso trabalho e, por isso, não numerosas equações. Para isso, nos repetimos algumas expressões e também nomeamos algumas integrais com o I; J; K ;::: nos Apêndices A e B . Os dois últimos apêndices tratam da teoria gravitacional classica e sem iclassica.

Em todo nosso trabalho usamos as seguintes convenções: $h = c = 1$, $\rho = \text{diag}(1; 1; 1; 1)$, $G = \frac{32}{\pi}$ onde G é a constante de Newton e $R = g(\theta + \phi)$.

Capítulo 1

Regras de Feynman

Vamos considerar extrinsecamente as Regras de Feynman da Teoria Perturbativa da Gravitação Quântica.

Para isso, escolhamos a seguinte expansão usual da métrica g

$$g = \eta + h$$

onde $\eta = \frac{p}{32\pi G}$, $\eta = \text{diag}(1; 1; 1; 1)$ e h representa o campo do gravitônio.

A partir desta escolha temos

$$\begin{aligned} g &= \eta + h + h^2 + \dots \\ p \overline{\eta} &= 1 + \frac{1}{2}h + \frac{1}{8}(h^2 - 2h \cdot h) + \dots \end{aligned}$$

onde de nim os $h = h_{\mu\nu}$, $h = h^{\mu\nu}$ e $g = \det g$.

Com essas definições, podemos atacar o primeiro e mais simples caso: o campo escalar (ou Klein-Gordon) com acoplamento ao nim [4], cuja (densidade de) Lagrangeana é dada por

$$L_{KG} = \frac{p}{2} \overline{g} (g \cdot r' \cdot r' - m^2 r'^2)$$

onde r' é a derivada covariante que nesse caso simples se reduz a $r' = \partial'$ porque é um campo escalar.

Essa Lagrangeana pode ser expandida em

$$L_{KG} = \frac{1}{2} \left(\underbrace{\{z\}}_{L_0} \right) \left| \frac{1}{2} h \underbrace{\{z\}}_{L_{Int}^{(1)}} \right. \left. - \right. \left. + \frac{1}{2} \frac{1}{4} (h^2 - 2h \cdot h) L_0 + h \cdot h \frac{h}{2} h \underbrace{\{z\}}_{L_{Int}^{(2)}} \right. \right. \left. + \dots \right.$$

onde L_0 é a Lagrangeana livre, ou seja, na ausência de gravidade, $L_{Int}^{(1)}$ é a Lagrangeana de interação em ordem 1 , $L_{Int}^{(2)}$ é a Lagrangeana de interação em ordem 2 e assim por diante.

A equação de Euler-Lagrange para a Lagrangeana livre

$$\frac{\partial L_0}{\partial'} - \cancel{\frac{\partial L_0}{\partial (\partial')}} = 0$$

nos da

$$(2 + m^2)'(x) = 0$$

onde $2 = \partial \partial$. A solução desta equação pode ser escrita com o combinações lineares de ondas planas

$$'(x) = \sum_k \frac{1}{p \overline{2V E_k}} \frac{h}{a(k)} e^{ikx} + a^*(k) e^{-ikx}$$

(estamos considerando $'(x)$ com o um campo real, portanto $'(x) = '(x)$), onde es-
colhemos a norma \sqrt{v} e $k = (E_k; k)$ onde $E_k = \frac{p}{\sqrt{k^2 + m^2}}$.

Quantizando o campo $'(x)$ através das relações de comutação em tempos iguais (veja por exemplo [15])

$$['(x;t); '(x';t)] = i \delta^{(3)}(x - x')$$

$$['(x;t); '(x';t)] = ['(x;t); '(x';t)] = 0$$

onde

$$(x) \quad \frac{\partial L_0}{\partial'} = '(x)$$

permitem os $a(k)$ e $a^*(k)$ aos operadores

$$a(k) \hat{J}_i = 0 \quad \text{aniquilação}$$

$$a^*(k) \hat{J}_i = \hat{J}_i \quad \text{criação}$$

onde δi é o estado de vacuo, e assim obtém os

$$[a(k); a^y(k^0)] = i_{kk^0}$$

$$[a(k); a(k^0)] = [a^y(k); a^y(k^0)] = 0:$$

Com isso, podem os calcular o propagador do campo escalar (veja detalhes em [15])

$$h_0 \int f'(x) g \delta i = \int \frac{d^4 p}{(2\pi)^4} e^{ip \cdot x} \frac{i}{p^2 - m^2 + i}$$

onde T é a ordem temporal.

Propagador do escalar

$$\text{---} \rightarrow \text{---} \quad \frac{i}{p^2 - m^2 + i}$$

De modo análogo, o campo real $h(x)$ também pode ser quantizado

$$h(x) = \sum_{k,r} \frac{p_r(k)}{2V E_k} b_r(k) e^{ik \cdot x} + b_r^*(k) e^{-ik \cdot x}$$

onde $b_r(k)$ são os tensores de polarização (similares aos do caso do fóton, veja mais detalhes em [2, 26]).

Tendo em mãos as expressões dos campos quantizados, podem os agora extrair o primeiro vértice a partir de $L_{\text{Int}}^{(1)}$ através da matriz S dada por

$$S = 1 \int d^4 x :H_{\text{Int}}^{(1)}(x) : + \dots$$

$\underbrace{}_{S^{(1)}}$

onde $H_{\text{Int}}^{(1)}(x) = L_{\text{Int}}^{(1)}(x)$ é a Hamiltoniana de interação (em 1ª ordem) e $:O:$ é o ordenamento normal do operador O .

Considere o estado inicial formado por um escalar com momento p e um graviton com momento q e polarização r

$$\delta i = a^y(p) b_r^*(q) \delta i$$

ja o estado é apenas um escalar com momento p^0

$$\delta f_i = a^y(p^0) \delta i$$

portanto

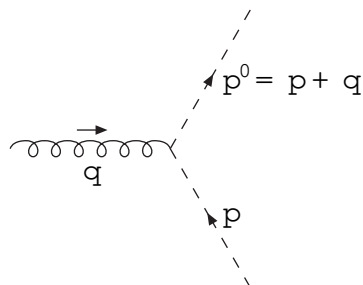
$$\begin{aligned}
 hF \mathcal{S}^{(1)} j_{ii} &= h0 j_{\mu} (p^0) S_Z^{(1)} a^y(p) b_r^y(q) j_{\mu} \\
 &= h0 j_{\mu} (p^0) i \int d^4x :L_{Int}^{(1)}(x) :a^y(p) b_r^y(q) j_{\mu} \\
 &= \frac{i}{2} h0 j_{\mu} (p^0) \int d^4x :h(z' \partial' - L_0) :a^y(p) b_r^y(q) j_{\mu}
 \end{aligned}$$

que após um a simples álgebra de operadores resulta em

$$\begin{aligned}
 hF \mathcal{S}^{(1)} j_{ii} &= \frac{(2)^4 (4) (p^0)}{2V E_{p^0}} \frac{p}{2V E_p} \frac{q_r}{2V E_q} (q) \\
 &\quad | \frac{\frac{i}{2} [p^0 p + p^0 p]}{V (p^0 p)} \{z \frac{(p^0 - p - m)}{(p^0 p)} \}]
 \end{aligned}$$

e ignorando fatores de normalização, bem como o tensor de polarização e o delta de Dirac, obtém os nossos primeiros vértices:

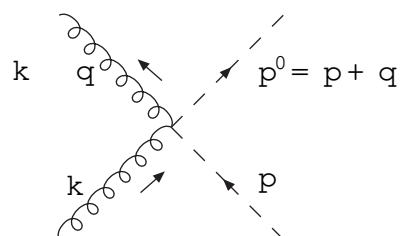
Vértice graviton - escalar - escalar



$$V(p^0; p) = \frac{i}{2} [p^0 p + p^0 p] \{z \frac{(p^0 - p - m)}{(p^0 p)} \}$$

e de maneira análoga obtém os os vértices de ordem mais alta:

Vértice graviton - graviton - escalar - escalar



$$V \cdot (\bar{p}^0; p) = i^2 I \cdot I \cdot \frac{1}{4} (I \cdot + I \cdot) (\bar{p}^0 p + p^0 \bar{p})$$

$$\frac{1}{2} (\bar{p}^0 p - p^0 \bar{p})$$

onde $P \cdot = I \cdot + \frac{1}{2}$ e $I \cdot = \frac{1}{2} (+)$.

Para o campo de Dirac temos

$$L_D = \frac{p \cdot g}{2} \left(\bar{r} \cdot r \right) m$$

$$= \frac{i}{2} \left(\bar{\psi} \cdot \not{e} \psi \right) m - \frac{h}{2} \left(\bar{\psi} \not{e} \not{e} \psi \right) L_0 + \dots$$

$\underbrace{\{z\}}_{L_0}$

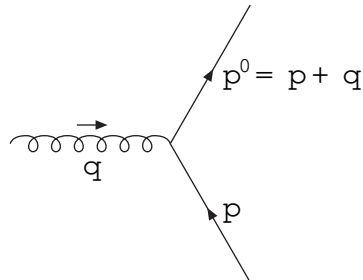
onde $r \cdot = \not{e} + iw$, $r = \not{e} - iw$ e a conexão w pode ser escrita em função da tetrada e_m (e sua inversa e^m) com o [16, 14]

$$w = \frac{1}{4} e_m^n e_n (\not{e}_m \not{e}_n - \not{e}_n \not{e}_m) + \frac{1}{2} e_m e_n (\not{e}_m \not{e}_1 - \not{e}_n \not{e}_1) e^1 \quad (m \neq n)$$

e a tetrada pode ser expandida em $e^m = e^m + \frac{1}{2} h^m + \dots$; portanto propagador do elétron

$$\frac{i}{p \cdot m + i}$$

Vértice graviton - elétron - elétron



$$V \cdot (\bar{p}^0; p) = \frac{i}{8} [2 (\bar{p}^0 + \bar{p}) 2m (\bar{p} + p) (\bar{p} + p)]$$

Vértices de ordem maior no caso de fermions não serão usados nesta tese.

Para o campo de Maxwell temos

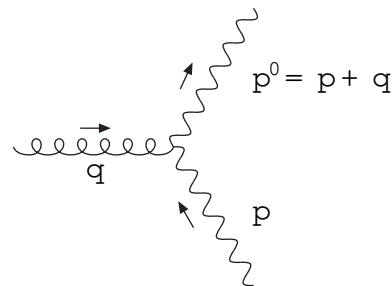
$$\begin{aligned}
 L_M &= \frac{p_g}{4} g_{\mu\nu} F^{\mu\nu} \\
 &= \frac{1}{4} \underbrace{\{z\}}_{L_0} F^{\mu\nu} \underbrace{\frac{h}{2}}_{F^{\mu\nu}} \underbrace{L_0}_{i} \\
 &\quad + \frac{1}{4} \left(h^2 - 2h \cdot h \right) L_0 + F^{\mu\nu} \left(h h^{\mu\nu} - 2h^{\mu} h^{\nu} - h^{\mu} h^{\nu} \right) + \dots
 \end{aligned}$$

onde $F = \partial_\mu A^\nu - \partial_\nu A^\mu$, A é o campo do foton e escolhendo o gauge de Feynman, $\partial_\mu A^\mu = 0$, temos

Propagador do foton

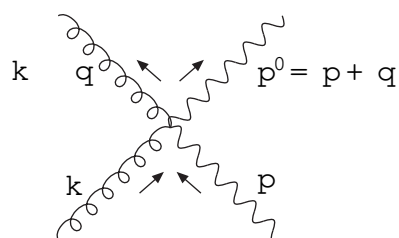
$$\text{wavy line} \quad \frac{i}{q^2 + i}$$

Vertice graviton - foton - foton



$$V(p^0; p) = \frac{i}{2} [(p^0 p^0) p^0 p^0 + (p^0 p^0) p^0 p^0 + (p^0 p^0) p^0 p^0]$$

Vertice graviton - graviton - foton - foton



$$V_{\nu}, \nu(p^0; p) = \frac{i}{4} \left[\left(T_2 + T_1 \right) (p^0 p^0) + 2(T_1 + T_2) + 2(T_1 + T_2) + 2(p^0 p^0) + 2(p^0 p^0) + 2(p^0 p^0) + 2(p^0 p^0) \right]$$

$$\text{onde } T = p^0 p^0 - p^0 p^0 + p^0 p^0$$

Analogamente para o campo de P roca

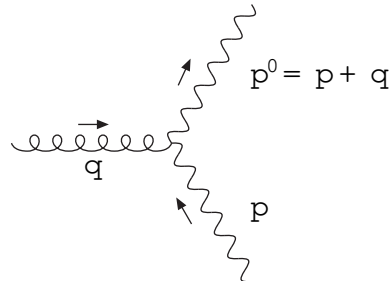
$$L_P = \frac{p}{g} - \frac{1}{4} g g F F + \frac{m^2}{2} g A A$$

$$= \frac{1}{4} \underbrace{\left(F F + \frac{m^2}{2} A A \right)}_{L_0}$$

$$- \frac{h}{2} F F + m^2 A A + \frac{i}{L_0} + \dots$$

e

Vértice graviton - foton massivo - foton massivo



$$V_{\nu}, \nu(p^0; p) = \frac{i}{2} \left[(p^0 p^0 + p^0 p^0 + p^0 p^0 + p^0 p^0) (p^0 p^0) \right]$$

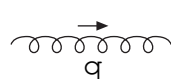
Também não vamos precisar de mais vértices com fotões massivos.

Para o campo do graviton, escolhendo ainda o gauge de de D onder, ou seja,
 $\partial h = \frac{1}{2} \partial h$, obtém os a seguinte expansão da Lagrangeana de Einstein-Hilbert

$$\begin{aligned} L_{EH} &= \frac{2}{2} p \overline{gR} \\ &= \frac{1}{2} \partial h \partial h - \frac{1}{2} \partial h \partial h + \frac{1}{2} h \partial h \partial h - \frac{1}{2} h \partial h \partial h \\ &\quad h \partial h \partial h + \frac{1}{4} h \partial h \partial h + h \partial h \partial h - \frac{1}{8} h \partial h \partial h + \dots \end{aligned}$$

na expressão acima a descartam os divergências totais e deixam os o segundo termo o mais compacto possivel [6]. Com isto podem os retirar o propagador do graviton e o primeiro vértice:

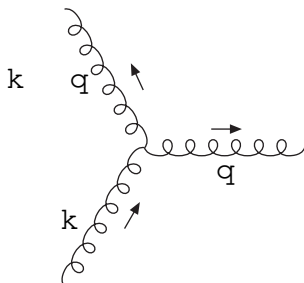
Propagador do graviton



$$\frac{iP}{q^2 + i}$$

onde $P = I_{\frac{1}{2}}$, $I_{\frac{1}{2}} = \frac{1}{2}(\dots + \dots)$ e

Vértice graviton - graviton - graviton



$$\begin{aligned} V(k, q; k, q) &= i \left[\frac{1}{2} (k^2 + q^2 + (k - q)^2) I_{\frac{1}{2}} + I_{\frac{1}{2}} + I_{\frac{1}{2}} \right. \\ &\quad + \frac{1}{4} \left(I_{\frac{1}{2}} + I_{\frac{1}{2}} + I_{\frac{1}{2}} \right) \\ &\quad + q (k - q) I_{\frac{1}{2}} + \frac{1}{2} (I_{\frac{1}{2}} + I_{\frac{1}{2}} + I_{\frac{1}{2}} + I_{\frac{1}{2}}) \\ &\quad + I_{\frac{1}{2}} + I_{\frac{1}{2}} + I_{\frac{1}{2}}] \\ &\quad k (k - q) I_{\frac{1}{2}} + \frac{1}{2} (I_{\frac{1}{2}} + I_{\frac{1}{2}} + I_{\frac{1}{2}}) \\ &\quad + I_{\frac{1}{2}} + I_{\frac{1}{2}} + I_{\frac{1}{2}}] \\ &\quad k q I_{\frac{1}{2}} + \frac{1}{2} (I_{\frac{1}{2}} + I_{\frac{1}{2}} + I_{\frac{1}{2}}) \\ &\quad + I_{\frac{1}{2}} + I_{\frac{1}{2}} + I_{\frac{1}{2}} \text{lg:} \end{aligned}$$

Capítulo 2

Campo Externo - 1^a ordem

Considere o espalhamento de um átomo quantizado de massa m (possivelmente nula), spin s e (trí)momento inicial p (ϵ p^0) por um campo externo clássico dado por

$$h(x) = \frac{2GM}{|x|} \begin{pmatrix} & 2 & 0 & 0 \end{pmatrix}$$

que é a solução da equação de Einstein linearizada no gauge de De Donder

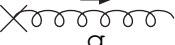
$$\nabla^2 h(x) - \frac{1}{2} h(x) = T(x)$$

tendo como fonte uma massa pontual localizada na origem do sistema de coordenadas, ou seja, $T(x) = M \delta_{00}(x)$. A transformada de Fourier deste campo é dada por

$$h(q) = \int d^4x e^{iq \cdot x} h(x) = \frac{M}{4q^2} \underbrace{\begin{pmatrix} & 2 & 0 & 0 \end{pmatrix}}_{h^{\text{ext}}(q)} 2(q)$$

onde $q = p^0 \hat{p} + \mathbf{q}$ e o momento trocado cuja componente $q = 0$ (o campo externo $h(x)$ é estatico no nosso caso, o que implica na conservação da energia), portanto $\hat{p}^0 j = \hat{p} j \hat{p} = 2 \hat{p} j \sin \frac{\theta}{2}$ onde θ é o ângulo de espalhamento.

Assim acrescentam os a seguinte regra de Feynman ao capítulo anterior
Campo externo



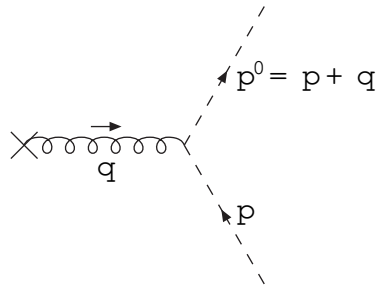
$$h^{\text{ext}}(q) = \frac{M}{4q^2} \begin{pmatrix} & 2 & 0 & 0 \end{pmatrix}$$

onde ca subentendida a conservação de energia no vértice ($q_0 = 0$).

Nas seções seguintes tratarão os diversos casos de espalhamento para partículas com $s = 0; \frac{1}{2}; 1; 2$ e $m = 0$ ou $m \neq 0$. Na seção final vamos enunciar um teorema sobre as seções de choque.

2.1 Klein-Gordon

O cálculo para a partícula escalar é o mais simples de todos devido à ausência de graus de liberdade internos. A amplitude de Feynman M para o processo em questão é dada por



$$\begin{aligned} iM &= ih^{ext}(q)V(p^0; p) \\ &= \frac{4GM}{q^2} \left(\frac{2^{00}}{(2m^2 + 4p^2)} [p^0 p + p^0 p] - \frac{(p^0 p)^2 m}{(2m^2 + 4p^2)} \right) \\ &= \frac{4GM}{q^2} (2m^2 + 4p^2): \end{aligned}$$

Por conveniência, nos multiplicamos por i a amplitude M para termos com uma expressão real. A partir desta expressão, podemos calcular a energia potencial gravitacional (ou simplesmente o potencial) devida com o [17, 18, 19]

$$\begin{aligned} V(r) &= \frac{d^3q}{(2\pi)^3} e^{iq \cdot r} \frac{iM}{2E} \frac{p^0}{2E} \\ &= \frac{4GM}{E} \frac{m^2 + 2p^2}{r} \frac{d^3q}{(2\pi)^3} \frac{e^{iq \cdot r}}{q^2} = \frac{GM}{r} \frac{m^2 + 2p^2}{E} \frac{1}{r} \end{aligned}$$

que se reduz no limite não-relativístico ao bem conhecido potencial Newtoniano $V(r) = \frac{GMm}{r}$ e a $V(r) = \frac{2GM E}{r}$ no caso ultra-relativístico (ou equivalente para $m = 0$).

Já a seção de choque diferencial é dada por [20, 21]

$$\frac{d}{d} = \frac{jIM}{(4)^2} = \frac{GM}{\sin^2 \frac{\theta}{2}} \cdot \frac{1}{1 + \frac{2}{2}}$$

onde $\frac{m^2}{p^2} = \frac{1}{v^2}$. Desta expressão podem-se obter o ângulo de espalhamento através da aproximação clássica [22] para a seção de choque $\frac{d}{d} = \frac{b}{\sin \theta} \frac{db}{d}$, onde b é o parâmetro de impacto. Assim temos

$$= 2 \sin^{-1} \frac{2GM}{b} \cdot \frac{1}{1 + \frac{2}{2}}$$

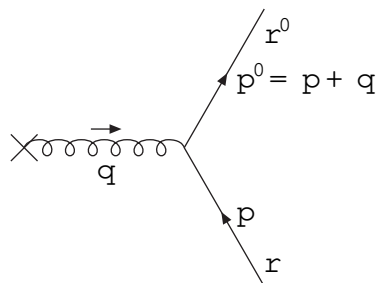
que para valores pequenos de $\frac{GM}{b}$ (o valor máximo de $\frac{GM}{b}$ para o Sol, por exemplo, é da ordem de 10^{-6} , o que nos permite fazer tal aproximação) pode ser aproximado para

$$\frac{4GM}{b} \cdot \frac{1}{1 + \frac{2}{2}}$$

que se reduz ao valor $a_{\text{Newton}} = \frac{2GM}{bv^2}$ para $jv j = 1$ e $a_{\text{Einstein}} = \frac{4GM}{b}$ quando $jv j = 1$ (no exemplo do Sol $a_{\text{Einstein}} = 1.75 \text{ arcsec}$).

2.2 Dirac

O espalhamento de elétrons pelo campo gravitacional é bem mais complicado do que o caso anterior devido ao spin. O diagrama abaixo representa o espalhamento em que a partícula inicial está especificada pelo spinor $u_r(p)$ e o estado final pelo spinor $u_{r^0}(p^0)$,



$$\begin{aligned} iM_{r^0; r} &= ih^{\text{ext}}(q) u_{r^0}(p^0) V(p^0; p) u_r(p) \\ &= \frac{4GM}{q^2} u_{r^0}(p^0) \cdot 2^0 \cdot \frac{m}{E} u_r(p) \end{aligned}$$

(o potencial pode ser obtido através da expressão acima a [17], porém este difere do potencial da seção anterior apenas por termos que só contribuem em distâncias da ordem do comprimento de onda C com pton = $\frac{1}{m}$ e, portanto, podem ser desprezados em grandes distâncias).

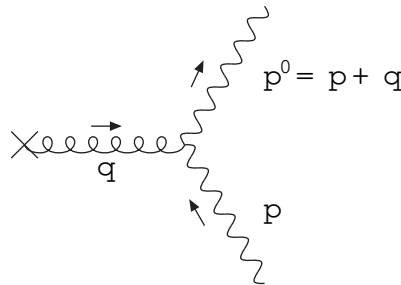
Para a seção de choque não polarizada temos [23, 24]

$$\frac{d}{d} = \frac{1}{(4\pi)^2} \frac{1}{2} \int_{r_0, r}^{\infty} iM_{r_0, r} \frac{d}{(2m)^2} = \frac{GM}{\sin^2 \frac{\theta}{2}} \cos^2 \frac{\theta}{2} + \frac{1}{4} \left[1 + \frac{1}{\sin^2 \frac{\theta}{2}} + 3 \cos^2 \frac{\theta}{2} \right]$$

onde usam os $\sum_{r=1}^{X^2} u_r(p) u_r(p) = \frac{p + m}{2m}$.

2.3 Maxwell

A amplitude M para o esplahamento de um foton é dada por



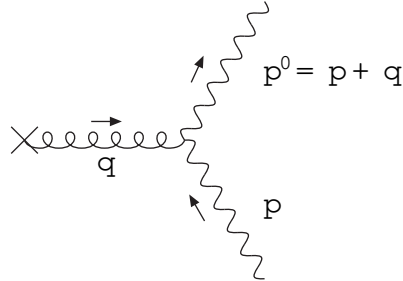
$$\begin{aligned} iM_{r_0, r} &= ih_{ext}(q)_{r_0}(p^0)V ; \quad (p^0; p)_r(p) \\ &= \frac{8GM}{q^2} \int_{r_0}^{\infty} (p^0) \left[(-2^0 \cdot 0) p^0 - p^0 p \right. \\ &\quad \left. + 2E p^0 \cdot 0 + 2E p^0 \cdot 2E^2 \right] r(p) \end{aligned}$$

onde $_r(p)$ e $r_0(p^0)$ são as polarizações iniciais e finais do foton, respectivamente, e usando $(p) \sum_{r=1}^{X^2} r(p) r(p) = \frac{1}{(p - r^2)} [p \cdot p - p \cdot n(p) + p \cdot n(p)]$ onde $n^2 = 1$, obtemos [23, 20]

$$\frac{d}{d} = \frac{1}{(4\pi)^2} \frac{1}{2} \int_{r_0, r}^{\infty} iM_{r_0, r} \frac{d}{(2m)^2} = \frac{GM}{\sin^2 \frac{\theta}{2}} \cos^4 \frac{\theta}{2} :$$

2.4 P roca

De modo análogo temos o caso do "foton massivo"



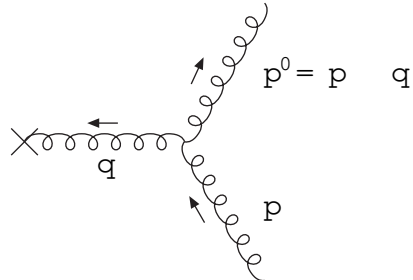
$$\begin{aligned} \mathcal{M}_{r^0, r} &= i h_{\text{ext}}(q) r^0(p^0) V, \quad (p^0; p)_r(p) \\ &= \frac{8 G M}{q^2} r^0(p^0) [(-2^{0 \ 0}) (p^0 \ p \ \bar{m}) \bar{p} p \\ &\quad + 2 E p^{0 \ 0} + 2 E p^{0 \ 0} - 2 E^2 + m^2]_r(p) \end{aligned}$$

onde $r(p)$ e $r^0(p^0)$ são as polarizações iniciais e finais do "foton massivo", respectivamente, e com o $\sum_{r=1}^3 r(p) r(p) = 1 + \frac{p \cdot p}{m^2}$, obtemos [25]

$$\frac{d}{d} = \frac{1}{(4\pi)^2} \frac{1}{3} \sum_{r^0, r} \mathcal{M}_{r^0, r}^2 = \frac{G M}{\sin^2 \frac{\theta}{2}} \left[\frac{1}{3} + \frac{2}{3} \cos^4 \frac{\theta}{2} - \frac{1}{3} \left(\frac{3}{4} - 4 \cos^2 \frac{\theta}{2} \right) \right]^{\frac{1}{2}}$$

2.5 Einstein

Vamos considerar também o espalhamento de um graviton pelo campo externo



$$\mathbf{jM}_{r^0; r} = i h_{\text{ext}}(q)_{r^0} (p^0) V ; ; \quad (p; q; p^0)_r (p)$$

onde a soma de polarizações é dada por [26]

$$\sum_{r=1}^{x^2} (p)_r (p) = \frac{1}{2}^h (p) (p) + (p) (p) \stackrel{i}{(p)} (p)$$

assim

$$\frac{d}{d} = \frac{1}{(4)^2} \frac{1}{2}^x \mathbf{jM}_{r^0; r} = \frac{GM}{\sin^2 \frac{\pi}{2}} \sin^8 \frac{\pi}{2} + \cos^8 \frac{\pi}{2} :$$

2.6 Teorema

Na Tabela 2.1 estão agrupadas as seções de choque obtidas neste capítulo, vem então o seguinte:

As seções de choque são distintas para partículas de diferentes spins s.

Portanto existe, já em 1ª ordem no campo externo, uma violação do Princípio da Equivalência [27].

m	s	$d = d$
0	0	$\frac{GM}{\sin^2 \frac{\pi}{2}}$
$\neq 0$	0	$\frac{GM}{\sin^2 \frac{\pi}{2}} 1 + \frac{1}{2}$
0	$1/2$	$\frac{GM}{\sin^2 \frac{\pi}{2}} \cos^2 \frac{\pi}{2}$
$\neq 0$	$1/2$	$\frac{GM}{\sin^2 \frac{\pi}{2}} \cos^2 \frac{\pi}{2} + \frac{1}{4} 1 + + 3 \cos^2 \frac{\pi}{2}$
0	1	$\frac{GM}{\sin^2 \frac{\pi}{2}} \cos^4 \frac{\pi}{2}$
$\neq 0$	1	$\frac{GM}{\sin^2 \frac{\pi}{2}} \frac{1}{3} + \frac{2}{3} \cos^4 \frac{\pi}{2} - \frac{1}{3} 1 - \frac{3}{4} 4 \cos^2 \frac{\pi}{2}$
0	2	$\frac{GM}{\sin^2 \frac{\pi}{2}} \sin^8 \frac{\pi}{2} + \cos^8 \frac{\pi}{2}$

Tabela 2.1: Seções de Choque Diferenciais (não polarizadas).

No entanto, a diferença entre estas expressões é muito pequena. Na Figura 2.1 temos o gráfico de

$$\frac{(d = d) - (d = d)_{s=0}}{(d = d)_{s=0}} = \frac{(d = d)_s - (d = d)_{s=0}}{(d = d)_{s=0}}$$

em função de para partículas de $m = 0$.

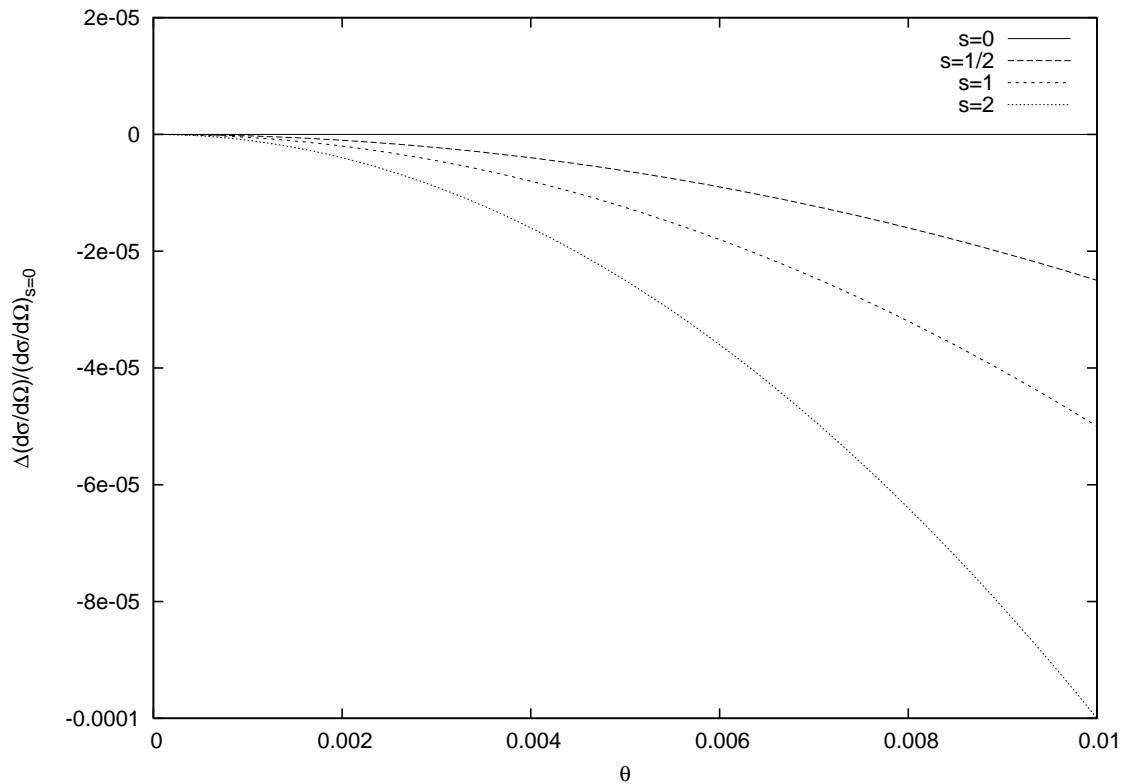


Figura 2.1: $(d = d) - (d = d)_{s=0}$ em função de .

Vemos que para ângulos pequenos $(d = d) - (d = d)_{s=0} \approx s^2/2$ e para valores típicos do ângulo de desvio 10^6 temos $(d = d) - (d = d)_{s=0} \approx 10^{-12}$ que é muito pequeno.

Capítulo 3

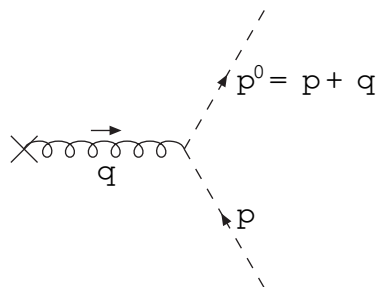
Campo Externo - 2ª ordem

Com o um aquecimento para o caso do foton, vamos os comecar calculando as correções de 2ª ordem no campo externo para um a partícula escalar [28, 29].

Por estarmos considerando que o campo é fraco porém a massa M é ainda muito maior do que a energia da partícula espalhada (tipicamente para o caso de um foton, digamos, na faixa de microondas 1 GHz , espalhado pelo campo gravitacional do Sol temos $\frac{E}{M} = 10^{-71}$) nos podemos desprezar o termo $sstrahlung$ e as correções radiativas, pois esses efeitos estão na razão de $\frac{E}{M}$ em relação aos graus de 2ª ordem no campo externo.

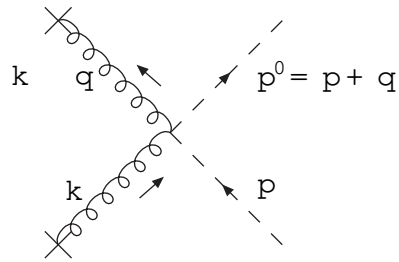
3.1 Escalar

Lembrando o resultado do capítulo anterior



$$iM^{(1)} = \frac{4}{q^2} \frac{GM}{c^2} (2m^2 + 4p^2)$$

e que existem somente 3 graus que contribuem para 2ª ordem,

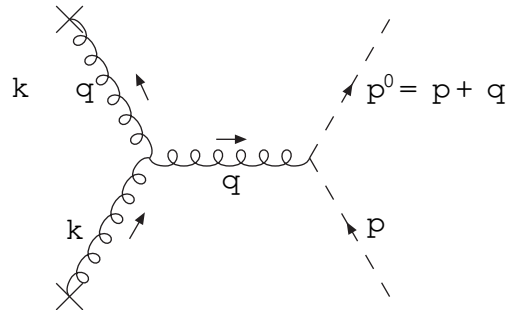


$$\begin{aligned}
 iM^{(2)} &= \frac{i^Z}{2} \frac{d^3k}{(2\pi)^3} h^{\text{ext}}(k) h^{\text{ext}}(k-q) V ; \quad (p^0; p) \\
 &= 16^2 G^2 M^2 (8E^2 - \frac{q^2}{4}) \frac{d^3k}{(2\pi)^3} \frac{1}{k^2 (k-q)^2} \\
 &= \frac{4^2 G^2 M^2}{32j} \frac{4E^2 - \frac{q^2}{2}}{8E^2 - \frac{q^2}{4}} ;
 \end{aligned}$$

onde usam os

$$(2^0 0)V ; \quad (p^0; p)(2^0 0) = \frac{i^2}{2} (8E^2 - \frac{q^2}{4}) :$$

Note que existe um fator de simetria $\frac{1}{2}$ nos graços de $M^{(2)}$ e $M^{(3)}$



$$\begin{aligned}
 iM^{(3)} &= \frac{i^Z}{2} \frac{d^3k}{(2\pi)^3} h^{\text{ext}}(k) h^{\text{ext}}(k-q) V ; ; \quad (k; q; k-q) \frac{iP}{q^2} V \quad (p^0; p) \\
 &= \frac{4^2 G^2 M^2}{32j} m^2 \frac{p^2}{4} + \frac{7q^2}{16} ! + O() :
 \end{aligned}$$

Neste segundo graço precisam os da seguinte expressão

$$\begin{aligned}
 (2^0 0)V ; ; \quad (k; q; k-q)(2^0 0) &= i [2(2k - q)^2 q - 2k^2)_{00} \\
 &+ 2q(q - 2k)k + q(k + q)k \\
 &+ (k^2 - k - q)]
 \end{aligned}$$

e portanto das seguintes integrais

$$\begin{aligned} \int_0^{\infty} \frac{d^3 k}{(2\pi)^3} \frac{k^i}{k^2 (k - q)^2} &= \frac{q^i}{16\pi^2} \\ \int_0^{\infty} \frac{d^3 k}{(2\pi)^3} \frac{k^i k^j}{k^2 (k - q)^2} &= \frac{\pi^2}{64} \frac{q^i q^j}{q^2} + \frac{i_{ij}}{6} : \end{aligned}$$

Note que a segunda integral tem divergência linear no ultravioleta e por isso introduzimos um corte.

No entanto, essa divergência é espúria, pois o mesmo resultado pode ser obtido diretamente através da aproximação de 2ª ordem no próprio campo externo.

Por exemplo, em coordenadas isotrópicas a métrica é dada por [14]

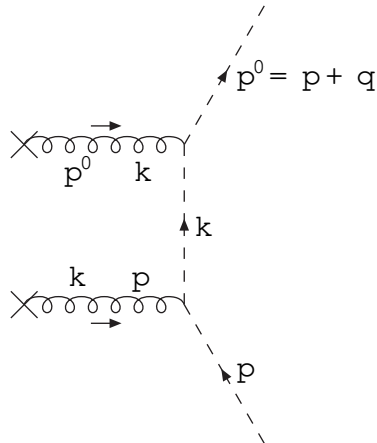
$$\begin{aligned} g_{00} &= \frac{1 - \frac{GM}{2r}}{1 + \frac{GM}{2r}} = 1 - \frac{2GM}{r} + \frac{2G^2M^2}{r^2} + \dots \\ g_{0i} &= 0 \\ g_{ij} &= 1 + \frac{GM}{2r} \stackrel{i_{ij}}{=} 1 + \frac{2GM}{r} + \frac{3G^2M^2}{2r^2} + \dots \stackrel{i_{ij}}{=} \end{aligned}$$

e assim

$$\begin{aligned} h_{00}^{\text{extra}}(q) &= 2G^2M^2 \int_0^{\infty} d^3 x \frac{e^{-iq \cdot x}}{r^2} = \frac{4\pi^2 G^2 M^2}{\pi^2} \frac{1}{q^2} \\ h_{0i}^{\text{extra}}(q) &= 0 \\ h_{ij}^{\text{extra}}(q) &= \frac{3G^2M^2}{2} \int_0^{\infty} d^3 x \frac{e^{-iq \cdot x}}{r^2} = \frac{3\pi^2 G^2 M^2}{\pi^2} \stackrel{i_{ij}}{=} \end{aligned}$$

obtemos o mesmo resultado sem a divergência

$$iM_{\text{extra}}^{(1)} = i h^{\text{extra}}(q) V(p^0; p) = \frac{4\pi^2 G^2 M^2}{\pi^2} m^2 \frac{p^2}{4} + \frac{7q^2}{16} :$$



esse gra co e divergente no infravermelho, por isso tem os que usar um a m assa para o graviton. Veja o Apêndice A para o cálculo de I. Em especial só precisam os do resultado para ! 0

$$\begin{aligned}
 \text{IM}^{(4)} &= i \int \frac{d^3 k}{(2\pi)^3} h^{\text{ext}}(p^0 - k) V(p^0; k) \frac{i}{k^2 - m^2 + i} V(k; p) h^{\text{ext}}(k - p) \\
 &= \frac{2G^2 M^2}{(2m^2 + 4p^2)^2} \int \frac{d^3 k}{[(p^0 - k^2 + m^2)[(p - k^2 + m^2)(p^2 - k^2 + i)]} \\
 &\quad \times \frac{4}{\dot{p} \dot{k}^2} (2m^2 + 4p^2)^2 \ln \frac{\dot{p} \dot{k}}{1 - i \frac{2}{\dot{p} \dot{k}^2} \ln \frac{\dot{p} \dot{k}}{2}}
 \end{aligned}$$

onde usam os

$$(2^{00}) [k \cdot p + k \cdot p] = 2m^2 - 4E k_0 = 2m^2 - 4E^2 = (2m^2 + 4p^2)$$

pois $k_0 = E$ pela conservação de energia nos vértices de campo externo, e portanto

$$k^2 - m^2 + i = p^2 - k^2 + i :$$

A ssim conseguim os calcular a seção de choque diferencial em 2ª ordem [28, 29]

$$\frac{d}{d} = \frac{\text{IM}^{\text{total}}}{(4\pi)^2} = \frac{d}{d} \Big|_0 \frac{!''}{1 + \frac{GM \dot{p} \dot{k} \sin \frac{\theta}{2}}{1 + \frac{2}{\dot{p} \dot{k}^2}}} \Big|^3 + \frac{15}{4} \frac{\sin^2 \frac{\theta}{2}}{\dot{p} \dot{k}^2} \Big|^4$$

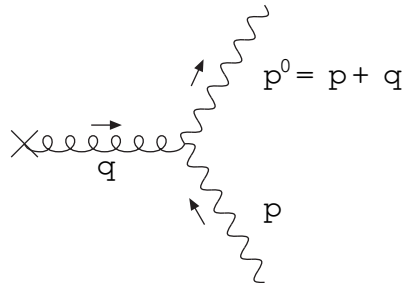
onde $M^{\text{total}} = \sum_{i=1}^4 M^{(i)}$ e

$$\frac{d}{d} \Big|_0 = \frac{GM}{\sin^2 \frac{\theta}{2}} \Big|_0^2 = \frac{1}{1 + \frac{2}{\dot{p} \dot{k}^2}}^2$$

e a seção de choque em 1ª ordem no campo externo. Observe que a divergência infravermelha não contribui na ordem de aproximação calculada. De fato pode-se mostrar que há um cancelamento destas divergências na gravitação [30, 31].

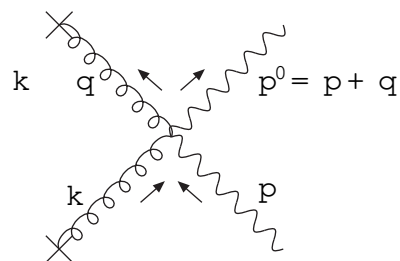
3.2 Foton

Do capítulo anterior

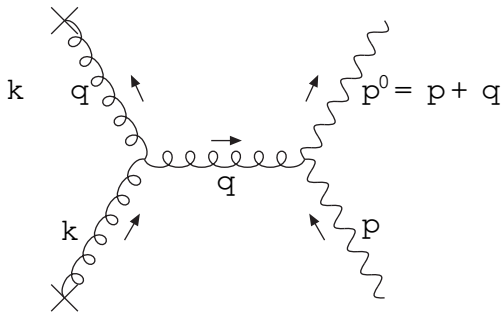


$$iM^{(1)} = \frac{8GM}{q^2} [(2^0 0)p^0 - p^0 p + 2E p^0 p + 2E p^0 - 2E^2]$$

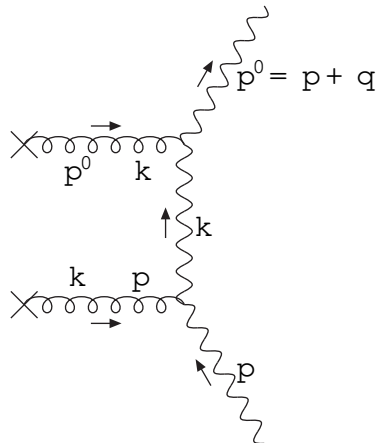
e novamente temos os 3 graus em 2ª ordem



$$\begin{aligned} iM^{(2)} &= \frac{i^Z}{2} \frac{d^3k}{(2\pi)^3} h_{ext}(k-q)h_{ext}(k)V_{\{z\}}(p^0; p) \\ &= \frac{i^2 M^2}{32} \left(\frac{2^0 0}{i^2(p^0 p - \beta p)} \right) \left| \frac{d^3k}{(2\pi)^3} \frac{1}{k^2(k-q)} \right|_{\frac{1}{8\pi j}}^Z \\ &= \frac{4^2 G^2 M^2}{8\pi j} (-p^0 p^0 p) \end{aligned}$$



$$\begin{aligned}
 \mathbb{M}^{(3)} &= \frac{i}{2} \int \frac{d^3 k}{(2\pi)^3} h_{\text{ext}}(k-q) h_{\text{ext}}(k) V ; ; (k; q; k-q) \frac{i p^0}{q^2} V ; (p^0; p) \\
 &= \frac{G^2 M^2}{32 q^2} \frac{p^0 ; V}{V(p^0 p)} \{ i \frac{(p^0; p)}{z} \} \\
 &\quad \left| \frac{\int \frac{d^3 k}{(2\pi)^3} ((2_0)_0) V ; ; (k; q; k-q) ((2_0)_0)}{k^2 (k-q)^2} \right\} \\
 &= \frac{G^2 M^2}{2 j \pi j} [p p^0 p + ((2_0)_0) p^0 - p^0 p + 2E p^0 + 2E p^0 - 2E^2]
 \end{aligned}$$



$$\begin{aligned}
 \mathbb{M}^{(4)} &= i \int \frac{d^3 k}{(2\pi)^3} h_{\text{ext}}(p^0 - k) V ; (p^0; k) \frac{i}{k^2 + i} V ; (k; p) h_{\text{ext}}(k - p) \\
 &= \frac{G M^2}{4 \pi^2} \int d^3 k \frac{((2_0)_0) V ; (p^0; k) ((2_0)_0) V ; (k; p)}{[(p^0 - k)^2 + i^2][(p^0 - k)^2 + i^2](p^2 - k^2 + i)}
 \end{aligned}$$

onde

$$((2_0)_0) V ; (p^0; k) = i [((2^0)_0) p^0 - k^0 p + 2E p^0 + 2E k^0 - 2E^2]$$

assim

$$\begin{aligned}
 & (2_0)_V ; (p^0; k) \quad (2_0)_V ; (k; p) \\
 = & 2f4E^2(E^2 - E p^0 - E p^0 + p^0 - p^0) \\
 + k & (2E^2 p^0 - 2E^0 p^0 - p) + k(2E^2 p - 2E^0 p^0 - p) \\
 + k & [2E^2 (p^0 + p) + 2E (p^0 p + p^0 p)] \\
 + k & k (p^0 p - p^0 p - p p^0 + p^0 p) g
 \end{aligned}$$

e usando a parte real (só esta parte contribui) das integrais do Apêndice A (lembre que $k_0 = E$ nesse diagrama)

$$(I; I; I) = \frac{\int d^3k}{[(p^0 - k^0)^2][(p - k)^2](p^2 - k^2 + i\epsilon)]}$$

$$\begin{aligned}
 I &= 0 \\
 I &= 0; \frac{3(p^0 + p)^i}{8 \int j^3 \sin \frac{\pi}{2} (1 + \sin \frac{\pi}{2})} \\
 I &= \frac{B}{E} \int^0_j \frac{3}{4 \int j (1 + \sin \frac{\pi}{2})} \frac{ij}{q^i q^j} + \frac{E I^i}{4 p^2 \sin \frac{\pi}{2}} + \frac{(2 + \sin \frac{\pi}{2})(p^0 + p)^i (p^0 + p)^j}{4 p^2 \sin \frac{\pi}{2} (1 + \sin \frac{\pi}{2})} \frac{C}{A}
 \end{aligned}$$

obtemos

$$\begin{aligned}
 iM^{(1)} iM^{(4)} &= \frac{64G^3 M^3}{q^2} p^0 p^0 p^0 p^0 - 2E^2 I + 2p^0 p^0 p^0 p^0 \\
 &= \frac{16^3 G^3 M^3 E}{\sin^3 \frac{\pi}{2}} \frac{2 + \sin \frac{\pi}{2}}{2} \frac{1}{2} \frac{\sin \frac{\pi}{2}}{2}
 \end{aligned}$$

alem disso

$$\begin{aligned}
 iM^{(1)} iM^{(1)} &= \frac{32^2 G^2 M^2}{\sin^4 \frac{\pi}{2}} \cos^4 \frac{\pi}{2} \\
 iM^{(1)} iM^{(2)} &= 0 \\
 iM^{(1)} iM^{(3)} &= \frac{4^3 G^3 M^3 E}{\sin^3 \frac{\pi}{2}} \cos^4 \frac{\pi}{2}
 \end{aligned}$$

e nalm ente [32]

$$\frac{d}{d} = \frac{d}{d} \Big|_0 \quad 1 + \frac{GM_E \sin \frac{\pi}{2}}{(1 + \sin \frac{\pi}{2})^2} \quad \frac{15 + 14 \sin \frac{\pi}{2} + 3 \sin^2 \frac{\pi}{2}}{4} \quad ! \#$$

en que

$$\frac{d}{d} \Big|_0 = \frac{GM}{\sin^2 \frac{\pi}{2}} \cos^4 \frac{\pi}{2} :$$

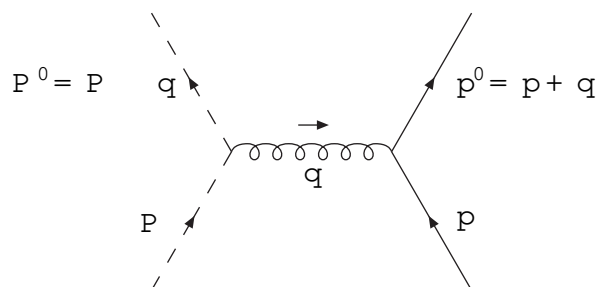
Capítulo 4

Igualdade entre as teorias Semiclassica e Efetiva da Gravitação

4.1 Nível de Árvore

A Teoria Efetiva da Gravitação é uma Teoria Quântica de Campo que trata o graviton como uma partícula quantizada, mas separa as partes não analíticas ($1=q^2; 1=q; \ln q$) da amplitude de Feynman M dos termos analíticos ($1;q;q^2;\dots$), onde q é o momento trocado entre as partículas, e assim sendo, valida somente em grandes distâncias (ou baixo momento trocado) [13, 33].

Neste capítulo, vamos calcular o espalhamento entre duas partículas: uma delas é um escalar de massa M e momento inicial P (e final P'). A massa M vai ser considerada muito maior do que qualquer outra energia envolvida. A outra partícula pode ser em princípio de qualquer tipo, com momento inicial p (e final p'), como no diagrama abaixo:



A igualdade em n vel de arvore entre as teorias Sem iclassica e E fetiva e trivial na aproximacao $\frac{p^0}{q} \ll M$ e no sistema de referencia do laboratorio, isto e, $P = (M; 0)$, pois

$$\begin{aligned}
 M_{\text{efetiva}} &= V(p^0; p) \frac{iP}{q^2} V(p^0; p) \\
 &= \underbrace{\frac{i}{2} [P^0 P + P^0 P]}_{iM^2} \underbrace{(P^0 - P - M)}_{h^{\text{ext}}(q)} \frac{iP}{q^2} V(p^0; p) \\
 &= 2M \frac{M}{4q^2} \underbrace{(2^0 - 2^0)}_{h^{\text{ext}}(q)} V(p^0; p) \\
 &= 2M M_{\text{sem iclassica}}
 \end{aligned}$$

onde $h^{\text{ext}}(q)$ e o campo externo usado nos cap tulos anteriores, e portanto

$$M_{\text{sem iclassica}} = \frac{M_{\text{efetiva}}}{2M}$$

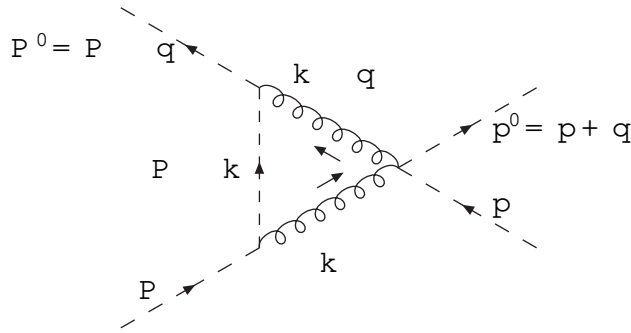
A origem do fator $\frac{1}{2M}$ e devida aos fatores de normalizacao $\frac{1}{2E_0} \frac{1}{2E}$ da part cula escalar. Em especial, para o caso em que a segunda part cula e tambem um escalar, tem os

$$jM^{(1)} = \frac{8GM^2}{q^2} (2m^2 + 4p^2)$$

4.2 N vel de Loop

Vam os dem onstrar a igualdade entre as duas teorias tambem em n vel de loop, para simplificar os calculos vam os nos limitar ao caso em que as duas part culas sao escalares, ainda na aproximacao $\frac{p^0}{q} \ll M$ e, alem disso, vam os considerar $E = M$ onde $E = \sqrt{p^2 + m^2}$ e a energia da outra part cula.

D os diversos gra cos existentes, apenas os seguintes contribuem na approximacao ja mencionada:

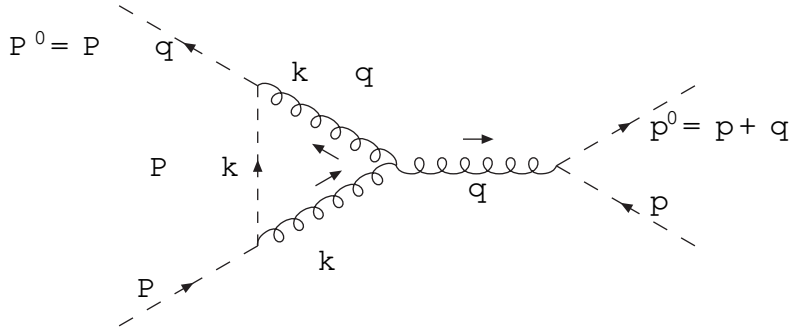


$$\begin{aligned}
 \text{IM}^{(2)} &= i \frac{Z}{(2\pi)^4} V(P^0; P - k) \frac{iP}{(k - q)^2} \frac{i}{(P - k)^2 M^2} \\
 &\quad \frac{iP}{k^2} V(P - k; P) V ; (p^0; p) \\
 &\quad \frac{2M^4}{4} \underbrace{\left(\frac{2^{00}}{i^2 4E^2 \frac{q^2}{2}} \right)}_{\text{z}} \underbrace{\left(\frac{2^{00}}{(P - k)^2 M^2} \right)}_{\text{z}} V ; (p^0; p) \\
 &\quad \frac{d^4 k}{(2\pi)^4 k^2} \frac{1}{[z]} \\
 &\quad \frac{8^2 G^2 M^3}{qj} \frac{1}{4E^2} \frac{q^2}{2} !
 \end{aligned}$$

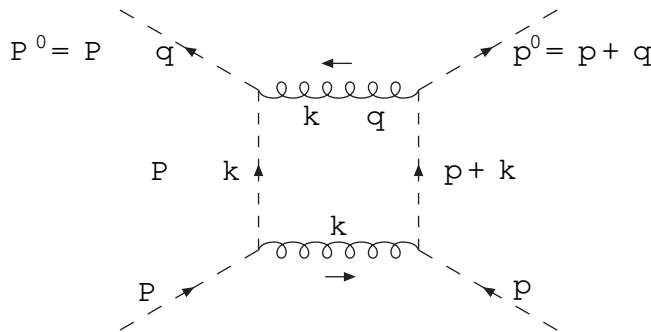
onde usam os as seguintes aproximações

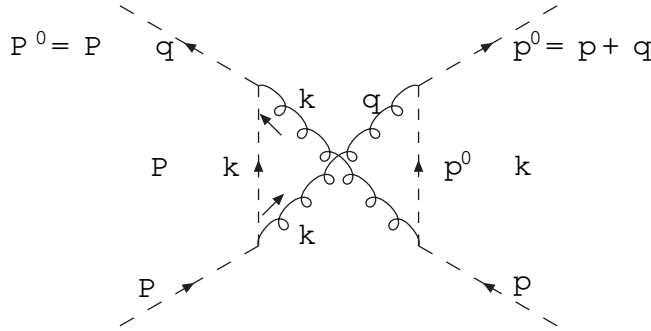
$$\begin{aligned}
 iP ; V(P^0; P - k) &= -\frac{1}{2} P^0 (P - k) + P^0 (P - k) M^2] \\
 &\quad \frac{M^2}{2} (-2^{00}) \\
 iP ; V(P - k; P) &= -\frac{1}{2} [(P - k) P + (P - k) P M^2] \\
 &\quad \frac{M^2}{2} (-2^{00})
 \end{aligned}$$

que são válidas porque termos com o $P P P P$, $k P P P$ e $kkP P$ no numerador da integral sobre k contribuem com fatores M^3 , M^2 e M respectivamente (veja Apêndice B).



$$\begin{aligned}
 iM^{(3)} &= i \int \frac{d^4 k}{(2\pi)^4} V(P^0; P - k) \frac{iP}{(k - q)^2} \frac{i}{(P - k)^2 M^2} \frac{iP}{k^2} V(P - k; P) \\
 &\quad V(i; (k; q; k - q)) \frac{iP}{q^2} V(p^0; p) \\
 &\quad \frac{3M^4}{8q^2} (p^0 p + p^0 p - m^2) \\
 &\quad \frac{3}{(2\pi)^4} \frac{(2^0 0) V(i; (k; q; k - q)) (2^0 0)}{k^2 (k - q)^2 [(P - k)^2 M^2]} \\
 &= \frac{3M^4}{8q^2} (p^0 p + p^0 p - m^2) \int \frac{d^4 k}{(2\pi)^4} \frac{i}{k^2 (k - q)^2 [(P - k)^2 M^2]} \\
 &\quad [2(2k - q^2 q - 2k^2)_{00} + 2q q - 2k k + q k + q k \\
 &\quad + (k^2 - k - q)] \\
 &\quad \frac{3M^4}{8q^2} (p^0 p + p^0 p - m^2) \frac{1}{128M} \frac{9q q - q^2}{q^2} \frac{q^2}{q^2}_{00} \\
 &= \frac{8^2 G^2 M^3}{q^2} \frac{p^2}{m^2} + \frac{7q^2}{16}
 \end{aligned}$$





$$\begin{aligned}
iM^{(4)} &= i \frac{Z}{(2\pi)^4} V(P^0; P - k) \frac{iP}{(k - q^2)^2} \frac{i}{(P - k^2/M^2)^2} \frac{iP}{k^2} \\
&\quad V(P - k; P) V(p^0; p + k) \frac{i}{(p + k)^2 - m^2} V(p + k; p) \\
&+ i \frac{Z}{(2\pi)^4} V(P^0; P - k) \frac{iP}{(k - q^2)^2} \frac{i}{(P - k^2/M^2)^2} \frac{iP}{k^2} \\
&\quad V(P - k; P) V(p^0; p^0 - k) \frac{i}{(p^0 - k)^2 - m^2} V(p^0 - k; p) \\
&\quad \frac{\pm 2M^4}{4} \\
&\quad (Z \frac{d^4 k}{(2\pi)^4} \frac{(2^{0,0})V(p^0; p + k)(2^{0,0})V(p + k; p)}{(k^2 - q^2)^2 [(k - q^2)^2] [(P - k^2/M^2)^2 [(p + k)^2 - m^2]]}) \\
&+ (Z \frac{d^4 k}{(2\pi)^4} \frac{(2^{0,0})V(p^0; p^0 - k)(2^{0,0})V(p^0 - k; p)}{(k^2 - q^2)^2 [(k - q^2)^2] [(P - k^2/M^2)^2 [(p^0 - k)^2 - m^2]]}) \\
&\quad \frac{i64 G^2 M^4 (2m^2 + 4p^2)^2}{(Z \frac{d^4 k}{(2\pi)^4} \frac{1}{(k^2 - q^2)^2 [(k - q^2)^2] [(P - k^2/M^2)^2 [(p + k)^2 - m^2]]}))} \\
&+ (Z \frac{d^4 k}{(2\pi)^4} \frac{1}{(k^2 - q^2)^2 [(k - q^2)^2] [(P - k^2/M^2)^2 [(p^0 - k)^2 - m^2]]}) \\
&\quad \frac{i64 G^2 M^4 (2m^2 + 4p^2)^2}{\frac{1}{8 \pi M q^2 p j} \ln \frac{ij}{8 \pi M q^2 p j}} \\
&\quad \frac{8 G^2 M^3}{p j^2} (2m^2 + 4p^2)^2 \ln \frac{ij}{8 \pi M q^2 p j}
\end{aligned}$$

onde usam os

$$\begin{aligned}
(2^{0,0})V(p^0; p + k) &= (2^{0,0})V(p + k; p) \frac{i}{2} (2m^2 + 4p^2) \\
(2^{0,0})V(p^0; p^0 - k) &= (2^{0,0})V(p^0 - k; p) \frac{i}{2} (2m^2 + 4p^2):
\end{aligned}$$

A assim conseguimos mostrar que ate o nível de loop

$$\frac{M_{\text{sem iclassica}}}{2M} \xrightarrow{\substack{M_{\text{efetiva}} \\ 2M}}$$

ou seja, as duas teorias predizem o mesmo resultado no limite em que uma das massas envolvidas é muito grande [34].

4.3 Potencial em Ordem G^2

Usando a definição do potencial não-relativístico [8, 19]

$$\begin{aligned} V(r) &= \frac{Z}{(2\pi)^3} e^{iq} \left[\frac{d^3q}{4M} \right]^2 \frac{iM_{\text{total}}}{E^0 E} \\ &= \frac{Z}{(2\pi)^3} e^{iq} \left[\frac{d^3p}{4M} \right]^2 \frac{iM_{\text{total}}}{E^0 E} \frac{(p^0 p^0)}{E^0 E} \frac{iM_{\text{total}}}{E^0 E} \frac{(p^0 p^0)}{E^0 E} \\ &= \frac{Z}{(2\pi)^3} e^{iq} \left[\frac{d^3q}{4M} \right]^2 \frac{4GMm}{q^2} \left[1 + \frac{3p^2}{2m^2} \right] \frac{8G^2M^2m^3}{\dot{p}\dot{p}^2} \ln \frac{\dot{p}}{\dot{p}_j} \\ &\quad \frac{6^2 G^2 M^2 m}{\dot{p}_j} \frac{8G^2M^2m^3}{\dot{p}\dot{p}^2} \ln \frac{\dot{p}_j}{\dot{p}} \frac{7^2 G^2 M^2 m}{\dot{p}_j} \end{aligned}$$

onde o último termo é a subtração da segunda aproximação de Born. O potencial resultante é nada mais que o potencial não-relativístico em coordenadas harmônicas (ou seja, no gauge de De Donder em pregado)

$$V(r) = \frac{GMm}{r} - \frac{3GMp^2}{2mr} + \frac{G^2M^2m}{2r^2} :$$

Capítulo 5

Aplicações

5.1 Massa do foton

Uma das primeiras aplicações que podem ser feitas é obtida já em primeira ordem de perturbação: trata-se do cálculo da massa do foton.

Igualando a seção de choque do foton massivo (Parede) obtida no Capítulo 2 para ângulos pequenos (apesar de que qualquer um dos resultados para partículas massivas serviria igualmente, pois são idênticos neste limite, veja Tabela 2.1) e massas pequenas $\frac{m}{E} \ll 1$

$$\frac{d}{d} = \frac{4GM^2}{c^2} \left(1 + \frac{m^2}{E^2} \right)^{-\frac{1}{2}}$$

e a bem conhecida aproximação clássica para a seção de choque [22]

$$\frac{d}{d} = \frac{b^2}{d}$$

onde b é o parâmetro de impacto, obtém-se um ângulo de desvio para partículas massivas

$$= \frac{4GM}{b} \left(1 + \frac{m^2}{2E^2} \right)^{-\frac{1}{2}}$$

que, comparado com o desvio clássico das partículas rasantes¹ sem massa $c = \frac{4GM}{b}$

¹Lembrando que $= \frac{2GM}{b} (1 + \cos \theta)$ é o ângulo clássico de desvio para partículas incidentes em qualquer posição em relação à M [36], e que se reduz a $= \frac{4GM}{b}$ apenas no caso em que as partículas passam rasantes a M, ou seja, $\theta = 0$. O ângulo é conhecido como o elongação, veja Figura 5.2.

nos da um limite para a massa do foton [25]

$$m = 2 \frac{\frac{s}{c}}{2}$$

onde $s = c$.

Esta expressao pode ser obtida classicamente (veja Apêndice C e referências [35, 36], ou ainda referência [37] para uma derivacão heurística).

Usando os dados do desvio da luz [38] para uma frequência de $\nu = 2G Hz$ e igualando $s = c$ com o erro relativo $1:4 \times 10^{-4}$, obtém-se uma massa $m = 1:4 \times 10^{-7} eV = 2:5 \times 10^{-41} g$, um valor muito mais conservador do que o obtido por outros métodos para estimar a massa do foton [39, 40].

5.2 Violacão do Princípio da Equivaléncia

Se adotarmos agora a massa do foton com o exatamente nula, vamos encontrar modificações em relação ao caso clássico somente em segunda ordem de perturbação.

No Capítulo 3, concluimos que as seções de choque em segunda ordem possuem uma dependência explícita na energia da partícula. Em particular, estas expressões (tanto para o caso da partícula escalar sem massa quanto para o foton) se reduzem para ângulos pequenos a

$$\frac{d}{d} \frac{\frac{4GM}{c^2}}{2} \left(1 + \frac{15GM}{8} \right)^! :$$

Usando novamente a aproximação clássica da seção de choque, obtém-se o seguinte ângulo de desvio

$$\theta_{\text{efetiva}} = \frac{4GM}{b} + \frac{60^2 G^3 M^3}{b^2}$$

valido² para $GM \ll b$, e assim temos

$$\frac{c}{b} = \frac{15^2 G^2 M^2}{b} :$$

²Entendemos o argumento apontado por Dunn e Hathrell na Referência [41], sobre a validade deste método e por isso acreditamos que este termo adicional representa apenas uma inusitada perturbação ao resultado clássico, portanto, não acarretando termos do tipo \ln que obviamente não são corretos.

Por outro lado, podem os tambem calcular o desvio da luz no caso em que b , usando a Teoria Sem iclassica atraves do metodo JW KB (veja Apêndice D e referências [42, 43]) obtendo

$$_{JWKB} = \frac{4GM}{b} + \frac{2}{32b^2}$$

e portanto

$$\frac{c}{\lambda} = \frac{2}{128GMb} :$$

Na Figura 5.1 temos $\frac{c}{\lambda}$ em função de λ para o caso de part culas rasantes ao Sol, ou seja, $GM = 1.476625 \cdot 10^3 m$ e $b = R = 6.961 \cdot 10^8 m$.

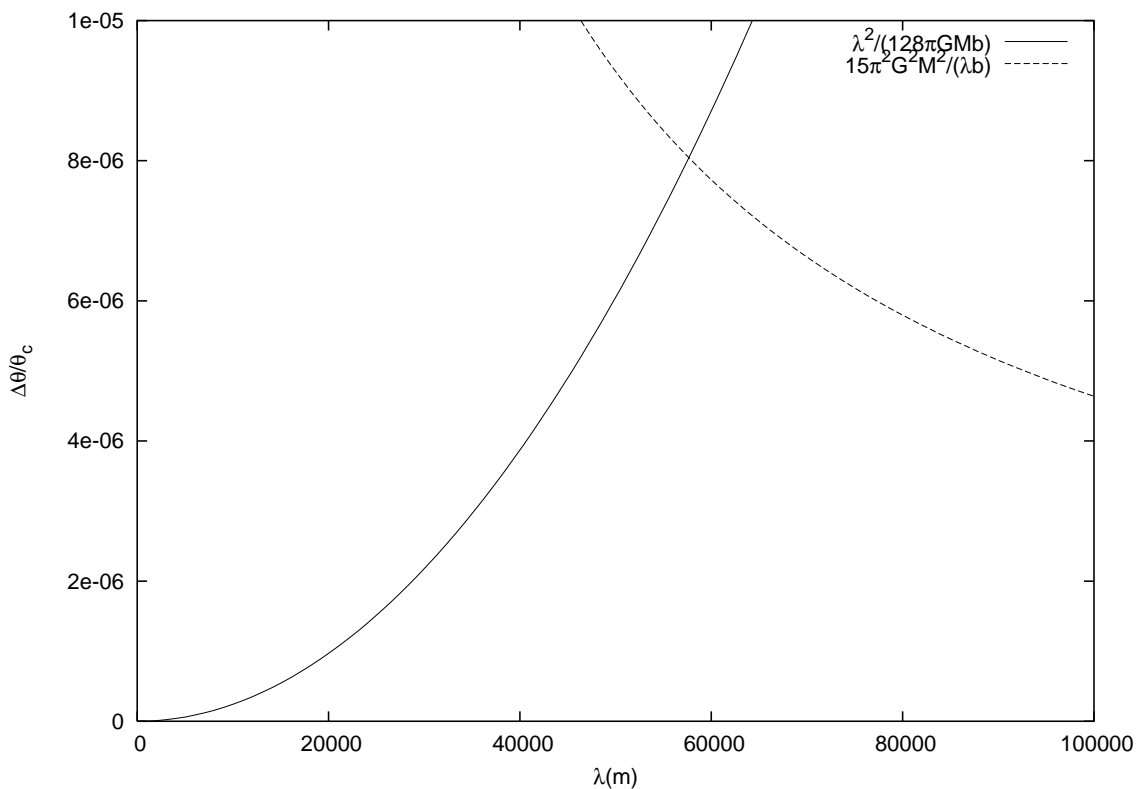


Figura 5.1: $\frac{c}{\lambda}$ em função de λ (em metros).

A lgum as observaçoes podem ser feitas aqui:

- Existe um a dependênci expl cita no com prímo de onda (ou na energia) da part cula, o que dem onstra um a violaçao do Princípio da Equivaléncia;

- Os efeitos são mais intensos a medida que se aproxima de $\frac{P}{30GM}$ (no caso do Sol $= 5.7657 \cdot 10^m$), contrariando o senso comum de que os efeitos quânticos gravitacionais surgem apenas em alturas assim as energias tais como a energia de Planck ($E_{\text{Planck}} = 10^9 \text{ GeV}$ ou $P_{\text{Planck}} = 10^{-35} \text{ m}$);
- Infelizmente para comprimentos de onda típicos, os efeitos são minuscúlos, na verdade impossíveis de serem detectados com a tecnologia atual (de fato, $= c \cdot 10^{17} \text{ pm}$ para 0.1 m , enquanto que a melhor precisão experimental atual [38] é $= c \cdot 10^4$).

5.3 Lentes Gravitacionais

Nossa última aplicação diz respeito às lentes gravitacionais. Na Figura 5.2 temos um esboço da geometria envolvida.

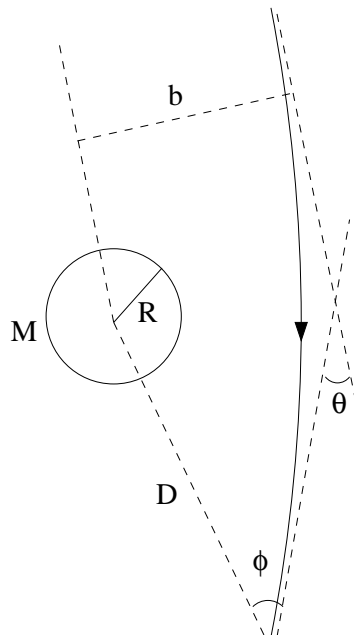


Figura 5.2: Geometria da deflexão da luz pelo Sol. A elongação é o ângulo entre o Sol e a imagem da estrela vista da Terra.

5.3.1 Anel de Einstein

O tamanho (angular) clássico do Anel de Einstein pode ser facilmente obtido através da condição de alinhamento total [44]

$$\frac{A_{\text{anel}}}{b} = \frac{4GM}{b^2}$$

portanto $b = \frac{p}{4GM/D}$, e assim temos

$$A_{\text{anel}} = \frac{s}{D} \sqrt{\frac{4GM}{D}}$$

De maneira análoga obtém os para a Teoria Semiclassica (JWKB)

$$A_{\text{JWKB}} = \frac{s}{D} \sqrt{\frac{4GM}{D} + \frac{2}{256GM^2D}}$$

e assim

$$\frac{A_{\text{anel}}}{s} = \frac{1}{512} \sqrt{\frac{p}{G^3 M^3 D}}$$

valido para pequeno. Vemos então que as lentes gravitacionais são cromáticas, porém o efeito é minúsculo, pois para uma galáxia típica $M = 10^{11} M_\odot$ e $D = 10^0$ ly (e portanto $A_{\text{anel}} = 1$ arcsec), e para uma frequência típica $f = 1 \text{ GHz}$ temos $s = A_{\text{anel}} = 10^{-38}$ que é impossível de ser observado.

Capítulo 6

Epólogo

E quase um consenso entre os físicos que a Mecânica Quântica e a Relatividade Geral são os dois grandes pilares sobre os quais se assenta a Física Moderna. No entanto, apesar dos herculeos esforços despendidos por um numero considerável de físicos ilustres, não se conseguiu até agora a fusão destas duas teorias. Qual seria, ao menos em princípio, a causa principal desta incompatibilidade? Talvez a dificuldade conceitual de reconciliar uma teoria local, com o a Relatividade Geral, com efeitos quânticos não locais ou, equivalentemente, de reconciliar o caráter local do Princípio da Equivalência Forte | Um observador ideal inserido em um campo gravitacional pode escolher um sistema de referência no qual a gravitação passa despercebida [45] | com o caráter não local do Princípio da Incerteza [46]. E digno de nota que este fato fundamental tem sido desprezado por um grande numero de investigadores em sua cruzada pela Gravitação Quântica. Por outro lado, os dois únicos caminhos de acesso a Gravitação Quântica que fornecem uma descrição matemática completa das propriedades quânticas do campo gravitacional, ou seja, String Theory e Loop Quantum Gravity, não foram ainda testados. Isto não é de causar especulação já que a escala de energia característica da Gravitação Quântica é a energia de Planck, $E_P = 10^{19} \text{ GeV}$, um valor que está tão longe do alcance experimental que a ideia de testes observacionais diretos parece, há muito, não passar de um plano quimérico. Certamente as reivindicações constantes da literatura sobre o fato de que nos encontramos no avançar da fenomenologia da Gravitação Quântica (veja, por exemplo, Amelino-Camelia [47]), são ainda bastante especulativas, o que parece de certa maneira ameaçar o futuro deste enfoque fenomenológico.

Neste trabalho, nos devotam os a analise da incom patibilidade existente entre o Princípio da Equivaléncia Fraco (universalidade da queda livre, ou igualdade das massas inerciale gravitacional) | considerado a pedra angular tanto da Gravitação Newtoniana quanto da Relatividade Geral | e a Mecânica Quântica. É importante frisar, contudo, que a equivaléncia dos princípios da universalidade da queda livre (Princípio da Equivaléncia de Galileu) e da igualdade das massas inerciale gravitacional (Princípio da Equivaléncia de Newton), suposta válida no contexto das teorias gravitacionais acim a mencionadas, não é suportada pela experiência. De fato, os experimentos em nível clássico que dão robustez ao último somente dão suporte limitado ao primeiro [44]. É conveniente, pois, que eles sejam tratados com os princípios distintos. No domínio quântico, todavia, as coisas são bastante diferentes: teoria e experiência concordam no que concerne à Equivaléncia de Newton, mas ambas estão em desacordo com a Equivaléncia de Galileu. Realmente, usando um interferômetro de nêutrons, Colella, Overhauser e Werner [48] observaram que o deslocamento quanto-mecânico causado pela interação do nêutron com o campo gravitacional da Terra (suposto ser Newtoniano) era dependente da massa do nêutron. Esta notável experiência, conhecida por razões óbvias com a experiência COW, comprova a ideia de que $m_I = m_G$ (Equivaléncia de Newton). Por outro lado ela mostra que existe um contato inevitável entre a Equivaléncia de Galileu e a Mecânica Quântica quando a gravitação é descrita pela teoria de Newton. É surpreendente que a existência de efeitos de interferência dependentes da massa tenham sido previstos por Greenberger [49] uns poucos anos antes da experiência COW ao aplicar a Mecânica Quântica ao problema de uma partícula ligada a um potencial gravitacional externo. Vale a pena mencionar que a igualdade entre as massas gravitacionais e inerciais estava incorporada em seu artigo seminal. Ele também supôs que o campo externo que atuava sobre a partícula era descrito pela gravitação Newtoniana. Em 1986, no entanto, uma reanálise dos dados de Eötvos feita por Fischbach et al. [50] suscitou pela primeira vez dúvidas sobre a validade da Equivaléncia de Newton. Os dados pareciam indicar a existência de uma nova força | a quinta força. Apesar dos prodígiosos esforços despendidos pelos experimentais, nada foi encontrado porém que pudesse comprovar que esta força era realmente verossímil [51]. Consequentemente, no que concerne à campos gravitacionais externos descritos pela gravitação de Newton, somente a Equivaléncia de Newton desfruta do status de um princípio básico tanto no domínio clássico quanto no quântico.

Ao longo deste trabalho admitemos sempre a validade do Princípio da Equivaléncia de Newton, e trabalhamos com a versão linearizada da gravitação de Einstein, em vez da gravitação de Newton. Encontramos, mesmo assim, já em primeira ordem de perturbação, que as seções de choque são distintas para partículas de spins diferentes. Quando os cálculos são levados até a proxima ordem de perturbação, as seções de choque passam a depender explicitamente da energia, o que acarreta, consequentemente, que tanto a de exalo gravitacional quanto o tambo angular do anel de Einstein herdem esta dependência na energia. Certamente, isto também se aplica a Teoria Efetiva da Gravitação na aproximação em que uma das massas é muito grande, pois, conforme mostramos, nesta aproximação ela é equivalente a Teoria Semiclassica. Isto nos permite afirmar com segurança que as teorias Semiclassica e Efetiva da Gravitação são compatíveis com o Princípio da Equivaléncia de Galileu e, portanto, com o Princípio da Equivaléncia Fraca. Estas violações da Equivaléncia Fraca que encontramos são, porém, muito pequenas. No caso da de exalo gravitacional de fôtons pelo Sol, os efeitos quânticos são da ordem de 10^{-17} arcsec, o que impede que eles sejam detectados com a tecnologia atual. Espera-se que, em meados de 2010, a precisão experimental concernente a medidas astronômicas atinja a casa dos nanosarcsec [2], permitindo provavelmente a observação destes efeitos.

O que teria a teoria de cordas para nos dizer sobre a universalidade da queda livre? As cordas são objetos estendidos e com tal estão sujeitas a forças de marea, e portanto não obedecem a este princípio.

Conclui-se da exposição acima que o Princípio da Equivaléncia — seja em sua forma forte ou fraca — é um dos fatores responsáveis pela existência de um ponto central entre a Relatividade Geral e a Mecânica Quântica. Uma saída para este dilema seria talvez considerar a gravitação sem o Princípio da Equivaléncia [3]. A primeira vista esta parece ser uma atitude muito drástica no que concerne a Relatividade Geral. Felizmente, a versão Teleparalela da Relatividade Geral — uma descrição da interação gravitacional sem elhante a força de Lorentz do eletromagnetismo, que em decorrência nada tem a ver com o Princípio da Equivaléncia — é equivalente a Relatividade Geral, e fornece em consequência uma teoria consistente de gravitação na ausência deste princípio [4].

A pêndice A

Integrais em 3D

A .1 Cálculo de I , I^i e I^{ij}

Vam os precisar da seguinte integral basica que pode ser calculada pelo m etodo de res duos §5]

$$\lim_{! \rightarrow 0} \int_0^Z \frac{d^3k}{[(k - P)^2 + i^2](p^2 - k^2 + i)} = \frac{i^2}{P} \ln \frac{p}{p + P + i}$$

derivando em relacao a P^i obtém os respectivamente (ca subentendido o $\lim_{! \rightarrow 0}$)

$$\begin{aligned} \int_0^Z \frac{d^3k}{[(k - P)^2 + i^2](p^2 - k^2 + i)} &= \frac{2}{[(p + i)^2 - P^2]} \\ \int_0^Z \frac{k^i d^3k}{[(k - P)^2 + i^2](p^2 - k^2 + i)} &= P^i \frac{2}{[(p + i)^2 - P^2]} \frac{i^2}{2P^3} \ln \frac{p}{p + P + i} \\ &\quad \frac{i^2(p + i)}{P^2 [(p + i)^2 - P^2]} \end{aligned}$$

e ainda integrando a ultima equação por i^2 obtém os

$$\int_0^Z \frac{k^i d^3k}{[(k - P)^2 + i^2](p^2 - k^2 + i)} = \frac{2P^i}{P} \frac{-\frac{i}{P} + \frac{i^2}{2P^2}}{\frac{p^2 + P^2 + i^2}{2P^2}} \ln \frac{p}{p + P + i}$$

e derivando em relacao a P^j tem os

$$\begin{aligned}
Z \frac{k^i k^j d^3 k}{[(k - p^0 + p^2)^2 (p^2 - k^2 + i)]} = & \frac{2^{ij}}{2P} \frac{i p^2 + P^2 + k^2}{2P^2} \ln \frac{p}{p+P+i} \\
& + \frac{+ip}{P} \frac{2P^i p^j}{2P^3} \frac{2(+ip)}{P^3} \\
& + \frac{3i}{2} \frac{p^2 + P^2 + k^2}{P^4} \ln \frac{p}{p+P+i} \\
& + \frac{i(p^2 + 3P^2 + k^2)(p+i)}{P^3 [(p+i)^2 - P^2]} \\
& \frac{2P}{[(p+i)^2 - P^2]} \cdots
\end{aligned}$$

As integrais necessárias neste trabalho são da forma

$$(I; I^i; I^{ij}) = \int_0^{\infty} \frac{(1; k^i; k^i k^j) d^3 k}{[(p^0 - k^0 + k^2)^2 (p^2 - k^2 + i)]}$$

que podem ser obtidas a partir das integrais anteriores através da identidade de Feynman

$$\frac{1}{ab} = \int_1^{\infty} \frac{dz}{2} \frac{a(1+z) + b(1-z)}{2}$$

agrupando-se os denominadores de p e p^0 tal que $P = \frac{p+p^0}{2} + z \frac{p-p^0}{2}$, $P^2 = p^2 (\cos^2 \frac{z}{2} + z^2 \sin^2 \frac{z}{2})$ e $k^2 = p^2 (1 - z^2) \sin^2 \frac{z}{2} + k^2$ onde usam os $p^2 = p^0 = p^2$ e $p^0 = p^2 \cos \frac{z}{2}$.

As integrais nais são puramente algébricas, porém tediosas. O importante para nos é simplificar o valor destas expressões no limite em que $z \rightarrow 0$, portanto

$$I = \frac{i^2}{2p^3 \sin^2 \frac{z}{2}} \ln \frac{2p \sin \frac{z}{2}}{2}$$

$$I^i = \frac{(p^0 + p)^i}{2} J \text{ onde}$$

$$J = \frac{3}{4p^3 \cos^2 \frac{z}{2}} \left[1 - \frac{1}{\sin \frac{z}{2}} \right] \frac{i^2}{2p^3 \cos^2 \frac{z}{2}} \ln \frac{2p}{2} + \frac{1}{\sin^2 \frac{z}{2}} \ln \frac{2p \sin \frac{z}{2}}{2}$$

$$I^{ij} = A^{ij} + B q^i q^j + C (p^0 + p)^i (p^0 + p)^j \text{ onde}$$

$$\begin{aligned}
A &= \frac{2}{4p} \frac{2i \ln \sin \frac{\pi}{2}}{1 + \sin^2 \frac{\pi}{2}} + \frac{2i \ln \sin \frac{\pi}{2}}{\cos^2 \frac{\pi}{2}} \\
B &= \frac{1}{16p^3 \sin^2 \frac{\pi}{2} \cos^2 \frac{\pi}{2}} \left(\frac{1}{2} \frac{\sin \frac{\pi}{2}}{\sin^2 \frac{\pi}{2}} + 2i \sin \frac{\pi}{2} \ln \sin \frac{\pi}{2} \right) \frac{i^2}{8p^3 \sin^2 \frac{\pi}{2}} \ln \frac{2p \sin \frac{\pi}{2}}{!} \\
C &= \frac{2i \sin \frac{\pi}{2} \cos^2 \frac{\pi}{2}}{16p^3 \sin^2 \frac{\pi}{2} \cos^4 \frac{\pi}{2}} + \frac{2}{2} \frac{3 \sin \frac{\pi}{2}}{\sin^2 \frac{\pi}{2}} + \frac{\sin^3 \frac{\pi}{2}}{8p^3 \sin^2 \frac{\pi}{2}} \\
&\quad 2i \sin \frac{\pi}{2} \frac{\sin^2 \frac{\pi}{2}}{3 \ln \sin \frac{\pi}{2}} \frac{i^2}{8p^3 \sin^2 \frac{\pi}{2}} \ln \frac{2p \sin \frac{\pi}{2}}{!}
\end{aligned}$$

A .2 Integrais Uteis

$$\begin{aligned}
Z \frac{d^3q}{(2\pi)^3} \frac{e^{iq \cdot r}}{q^j} &= \frac{1}{2^{-2} r^2} \\
Z \frac{d^3q}{(2\pi)^3} \frac{e^{iq \cdot r}}{q^2} &= \frac{1}{4r}
\end{aligned}$$

$$\begin{aligned}
Z \frac{d^3k}{(2\pi)^3} \frac{1}{k^2 (k - q)^2} &= \frac{1}{8qj} \\
Z \frac{d^3k}{(2\pi)^3} \frac{k^i}{k^2 (k - q)^2} &= \frac{q^i}{16qj} \\
Z \frac{d^3k}{(2\pi)^3} \frac{k^i k^j}{k^2 (k - q)^2} &= \frac{1}{64} \frac{3q^i q^j}{q^2} \stackrel{!}{+} \frac{i_j}{6^{-2}}
\end{aligned}$$

A pêndice B

Integrais em 4D

Aproximacões $P = M_0, \frac{p^0}{p}j, \frac{q^0}{q}j, M \in E, M$, veja referências [33, 56]

$$\begin{aligned} J &= \int \frac{d^4 k}{(2\pi)^4} \frac{1}{k^2 (k - q)^2 [(P - k)^2 - M^2]} \frac{i}{32M \frac{p^0}{p}j} \\ J &= \int \frac{d^4 k}{(2\pi)^4} \frac{k}{k^2 (k - q)^2 [(P - k)^2 - M^2]} \frac{iq}{64M \frac{q^0}{q}j} + \frac{i^0}{16^2 M} \ln \frac{\frac{p^0}{p}j}{M} \\ J &= \int \frac{d^4 k}{(2\pi)^4} \frac{k \cdot k}{k^2 (k - q)^2 [(P - k)^2 - M^2]} \\ &\quad \frac{i}{256M \frac{p^0}{p}j} [Bq \cdot q + q^2 (\delta^{00} - \delta^{00})] + \frac{i(q^0 + q^0)}{32^2 M} \ln \frac{\frac{p^0}{p}j}{M} \end{aligned}$$

$$\begin{aligned} K + K^0 &= \int \frac{d^4 k}{(2\pi)^4} \frac{1}{(k^2 - m^2) [(k - q)^2 - m^2] [(P - k)^2 - M^2] [(P + k)^2 - m^2]} \\ &\quad + \int \frac{d^4 k}{(2\pi)^4} \frac{1}{(k^2 - m^2) [(k - q)^2 - m^2] [(P - k)^2 - M^2] [(P^0 - k)^2 - m^2]} \\ &\quad \frac{1}{8M q^2 \frac{p^0}{p}j} \ln \frac{\frac{p^0}{p}j}{m^2} \end{aligned}$$

A pêndice C

D e exao classica de part culas m assivas e sem m assa

N este apêndice vam os calcular os resultados classicos para a de exao gravitacional de part culas m assivas e sem m assa [7, 58, 21] por um centro espalhador de m assa M descrito pela geom etria de Schwarzschild

$$ds^2 = 1 - \frac{2GM}{r} dt^2 - 1 - \frac{2GM}{r} dr^2 - r^2 d\theta^2 - r^2 \sin^2 \theta d\phi^2;$$

As equacões do movimento podem ser escritas com o [9]

$$\frac{r^2}{2} + V(r) = \frac{E^2}{2}; \quad L = r^2 - e = \frac{L^2}{2}$$

onde

$$V(r) = \frac{1}{2} - 1 - \frac{2GM}{r} - \frac{L^2}{r^2}$$

para part culas sem m assa e

$$V(r) = \frac{1}{2} - 1 - \frac{2GM}{r} - \frac{L^2}{r^2} + 1$$

para part culas m assivas.

Em ambos os casos, o ângulo de de exao e dado por

$$= 2 \int_{r_0}^{r_1} \frac{L=r^2}{E^2 - 2V(r)} dr$$

onde r_0 é a menor distância alcançada pela partícula ao centro, dada pela maior raiz da equação $V(r_0) = E^2/2$, assim temos

$$r_0 = \frac{2b}{P} \cos^{-\frac{1}{3}} \left(\frac{1}{3} \cos^{-1} \frac{P}{3GM} \right)^{\frac{1}{2}}$$

e

$$r_0 = \frac{2b}{P} \frac{v}{1 + \frac{1}{3} \frac{2GM}{b} \frac{1}{v^2}}^{\frac{1}{2}}$$

$$\cos^{-\frac{1}{3}} \left(\frac{1}{3} \frac{2GM}{b} + \frac{1}{3} \frac{2GM}{b} \frac{1}{v^2} + \frac{2}{27} \frac{2GM}{b} \frac{1}{v^2} \right)^{\frac{1}{3}}$$

$$\frac{2}{1 + \frac{1}{3} \frac{2GM}{b} \frac{1}{v^2}}^{\frac{1}{2}}$$

$$\frac{2GM}{3} \frac{1}{v^2}$$

para partículas sem massa e massivas respectivamente entre elas $L=E$ e o parâmetro de impacto no caso sem massa é $E = \frac{P}{1-v^2}$ e $L = bv = \frac{P}{1-v^2}$ onde v é a velocidade da partícula massiva no impacto.

Fazendo ainda a substituição na integral de $x = r_0 = r$ e $\dot{x} = 2GM/r_0 = r$ obtém os

$$= 2 \int_0^1 \frac{dx}{(1-x^2)(1-\dot{x})}$$

e

$$= 2 \int_0^1 \frac{dx}{(1-x^2)(1-\dot{x})} \frac{(1-v^2)}{(1-(1-v^2)(1-v^2))} (1-x)$$

expandindo em $GM=b=1$ temos

$$= 4 \frac{GM}{b} + \frac{15}{4} \left(\frac{GM}{b} \right)^2 + \frac{128}{3} \left(\frac{GM}{b} \right)^3 + \frac{3465}{64} \left(\frac{GM}{b} \right)^4 + \dots$$

e

$$= 2 + \frac{2}{v^2} \frac{GM}{b} + \frac{3}{4} + \frac{3}{v^2} \frac{GM}{b}^2 + \frac{10}{3} + \frac{30}{v^2} + \frac{10}{v^4} \frac{2}{3v^6} \frac{GM}{b}^3$$

$$+ \frac{105}{64} + \frac{105}{4v^2} + \frac{105}{4v^4} \frac{GM}{b}^4 + \dots$$

é interessante notar que, apesar de seguirem geodésicas distintas, e portanto resultarem em diferentes ângulos de excentricidade, o desvio para as partículas massivas no limite em que $v \rightarrow 1$ é idêntico ao caso das sem massa.

A pêndice D

D e exão gravitacional pelo m etodo de JW KB

Neste apêndice vamos seguir de perto o trabalho de Sanchez [42] sobre o es-
palham ento de ondas escalares na m etrica de Schwarzschild.

Para isso vamos resolver pelo m etodo de separaçao de variaveis a equaçao de
onda para o escalar ' (x)

$$\nabla^2 \psi(x) = g_{rr}''(x), \quad = 0$$

onde a m etrica de Schwarzschild em coordenadas padrao é dada por

$$ds^2 = 1 - \frac{2GM}{r} dt^2 - 1 - \frac{2GM}{r} dr^2 - r^2 d\theta^2 - r^2 \sin^2 \theta d\phi^2$$

e escrevendo ' (x) com o

$$\psi(r) = \frac{R(r)}{r} Y_m(\theta, \phi) e^{i\omega t}$$

onde $Y_m(\theta, \phi)$ é um harmônico esférico e ainda substituindo a coordenada r pela
coordenada (tortoise) de Regge-Wheeler

$$r = r + 2GM \ln \frac{r}{2GM} - 1$$

obtemos um a equaçao diferencial simples

$$\frac{d^2}{dr^2} + \frac{1}{r^2} V_{\text{ef}}(r) R(r) = 0$$

onde

$$V_{\text{ef}}(r) = 1 - \frac{2GM}{r} - \frac{2GM}{r^3} + \frac{1(l+1)}{r^2} :$$

Esta equação possui solução assintótica ($r \rightarrow 1$) da forma [60]

$$R_1(r) = \sin[\beta r + 2GM/\ln(2\beta r) + \delta(\beta)] - 1 = 0$$

onde $\delta(\beta)$ é o "shift" da função de onda.

Por outro lado, a fase da função de onda pode ser calculada pelo método de JWKB [61] válido para pequenos componentes de onda (ou seja, $\beta b = \frac{2b}{r} \ll 1$)

$$\int_{r_0}^r \frac{dr}{\sqrt{1 - \frac{2GM}{r}}} = 4\pi$$

onde r_0 é o ponto de retorno clássico $\beta^2 = V_{\text{ef}}(r_0)$, este método é válido na aproximação $(1 + 1/2) = \beta b$.

Voltando a coordenada r usual através da relação

$$dr = \frac{dr}{\sqrt{1 - \frac{2GM}{r}}}$$

obtemos a seguinte expressão para o "shift"

$$\delta(\beta) = \lim_{r \rightarrow 1^-} \int_{r_0}^r \frac{dr}{\sqrt{1 - \frac{2GM}{r}}} \stackrel{\#}{=} \beta r + \frac{1}{2} \ln(2\beta r) - 2GM/\beta^2 \stackrel{\#}{=}$$

A relação entre o "shift" e a de exão é dada por [61]

$$\begin{aligned} &= \frac{d\delta(\beta)}{d\beta} \\ &= -\frac{d\beta}{db} \\ &= \frac{2}{db} \int_{r_0}^{r_1} \frac{dr}{\sqrt{1 - \frac{2GM}{r}}} \stackrel{\#}{=} 1 - \frac{2GM}{r} - \frac{b^2}{r^2} + \frac{2GM}{4r^2} - \frac{1}{4} \stackrel{\#}{=} \\ &= 2b \int_{r_0}^{r_1} \frac{dr}{r^2 - 1 - \frac{2GM}{r} - \frac{b^2}{r^2} + \frac{2GM}{4r^2} - \frac{1}{4}} \\ &= 2 \int_0^{x_1} \frac{dx}{(1 - x)(1 + (x-1)^2) - 2(x-1) + (x-1)^2} \end{aligned}$$

onde substituindo $x = r/r_0 = r$, $b = 2GM/r_0$, $\beta^2 = 4/b^2$ e usamos a equação $\beta^2 = V_{\text{ef}}(r_0)$.

Com o estudo os interessados na aproximação $G M = b - 1$ e $b = 1$ podem os expandir em série em função destes parâmetros e assim obtém os

$$r_0 = b - 1 - \frac{G M}{b} - \frac{2}{32^{-2}b^2} - \frac{3G^2 M^2}{2b^2} + \frac{G M^2}{4^{-2}b^3} - \frac{4}{2048^{-4}b^4} + \dots$$

e portanto [62]

$$\begin{aligned} &= \frac{4G M}{b} + \frac{2}{32^{-2}b^2} + \frac{15 G^2 M^2}{4b^2} - \frac{3G M^2}{4^{-2}b^3} + \frac{3}{2048^{-3}b^4} \\ &+ \frac{128G^3 M^3}{3b^3} - \frac{99G^2 M^2}{128^{-4}b^4} - \frac{7G M^4}{64^{-4}b^5} + \frac{5}{65536^{-5}b^6} + \dots \end{aligned}$$

observe que esta expressão retorna ao resultado clássico do apêndice anterior no limite geométrico ($\epsilon = 0$).

R eferências Bibliográficas

- [1] L. Rosenfeld, Z. Phys. 65, 589 (1930).
- [2] S N . Gupta, Proc. Phys. Soc. A 65, 161 (1952).
- [3] S N . Gupta, Proc. Phys. Soc. A 63, 681 (1950); ibid. 64, 850 (1951).
- [4] S N . Gupta, Proc. Phys. Soc. A 65, 608 (1952).
- [5] R P . Feynman, Acta Phys. Polon. 24, 697 (1963).
- [6] B S . D eWitt, Phys. Rev. 160, 1113 (1967); ibid. 162, 1195 (1967); ibid. 162, 1239 (1967).
- [7] L D . Faddeev and V N . Popov, Phys. Lett. B 25, 29 (1967).
- [8] R P . Feynman, Magic Without Magic: John Archibald Wheeler, A Collection of Essays in Honor of his Sixtieth Birthday, Ed. J R . K lauder, San Francisco: W H . Freeman, p. 355 (1972).
- [9] C . M iller, Les Théories Relativistes de La Gravitation, Ed. A . Lichnerowicz and M A . Tonnelat, p.15 (CNRS, Paris, 1962).
- [10] G .t Hooft and M . Veltman, Ann. Inst. Henri Poincaré A 20, 69 (1974).
- [11] M H . Gorro and A . Sagnotti, Phys. Lett. B 160, 81 (1985); ibid. Nucl. Phys. B 266, 709 (1986).
- [12] A . A shtekar, Phys. Rev. Lett. 57, 2244 (1986); ibid. Phys. Rev. D 36, 1587 (1987).

- [13] J.F. Donoghue, *Phys. Rev. Lett.* **72**, 2996 (1994); *ibid. Phys. Rev. D* **50**, 3874 (1994).
- [14] S. Weinberg, *Gravitation and Cosmology: Principles and Applications of the General Theory of Relativity* (Wiley, New York, 1972).
- [15] F. Mandl and G. Shaw, *Quantum Field Theory* (Wiley, New York, 1984).
- [16] S.Y. Choi, J.S. Shim and H.S. Song, *Phys. Rev. D* **51**, 2751 (1995).
- [17] B.M. Barker, S.N. Gupta and R.D. Haracz, *Phys. Rev.* **149**, 1027 (1966).
- [18] Y. Iwasaki, *Prog. Theor. Phys.* **46**, 1587 (1971).
- [19] S.N. Gupta and S.F. Radford, *Phys. Rev. D* **21**, 2213 (1980).
- [20] E. Golowich, P.S. Grzibosky and P.B. Pal, *Am. J. Phys.* **58**, 688 (1990).
- [21] A. Accioly and S. Ragusa, *Class. Quant. Grav.* **19**, 5429 (2002); Erratum -*ibid.* **20** 4963 (2003).
- [22] L.D. Landau and E.M. Lifshitz, *Mécanique Moléculaire*, Moscow, 1966).
- [23] G. Papini and S.R. Valluri, *Phys. Rept.* **33**, 51 (1977).
- [24] A. Accioly, *Int. J. Mod. Phys. D* **11**, 1579 (2002).
- [25] A. Accioly and R. Paszko, *Phys. Rev. D* **69**, 107501 (2004).
- [26] S. Weinberg, *Phys. Rev.* **135**, B1049 (1964); *ibid.* **138**, B988 (1965).
- [27] A. Accioly and R. Paszko, *Contract between the Weak Equivalence Principle and Quantum Mechanics*, International Journal of Theoretical Physics (em julgamento).
- [28] T. Ueno and G. Munoz, *Phys. Lett. A* **223**, 137 (1996).
- [29] A. Accioly, R. Aldrovandi and R. Paszko, *Is the Equivalence Principle Doomed Forever to Dante's Inferno on account of Quantum Mechanics?*, Honorable Mention, Gravity Research Foundation (Wellesley Hills, MA, USA, 2006); International Journal of Modern Physics D (to appear).

- [30] S. Weinberg, Phys. Rev. 140, B 516 (1965).
- [31] B M . Barker, S N . Gupta and J. K askas, Phys. Rev. 182, 1391 (1969).
- [32] A . Accioly and R . Paszko, Quantum mechanics versus equivalence principle, Physical Review D (em julgamento).
- [33] N E J. B jernum -Bohr, J F . Donoghue and B R . Holstein, Phys. Rev. D 67, 084033 (2003); ibid. 71, 069903(E) (2005).
- [34] A . Accioly and R . Paszko, Equivalence between the semiclassical and effective approaches to gravity, Physics Letters B (em julgamento).
- [35] A D . W heelon, Phys. Rev. 85, 383 (1952).
- [36] C W . M isner, K S . Thorne and J A . W heeler, Gravitation (Freeman, San Francisco, 1973).
- [37] D D . Lowenthal, Phys. Rev. D 8, 2349 (1973).
- [38] S S . Shapiro, J L . D avis, D E . Lebach and J S . G regory, Phys. Rev. Lett. 92, 121101 (2004).
- [39] L.-C . Tu, J. Luo and G T . G illies, Rep. Prog. Phys. 68, 77 (2005).
- [40] A . Accioly and R . Paszko, cited by W .M . Yao et al. (Particle Data Group), J. Phys. G 33, 1 (2006) (URL: <http://pdg.lbl.gov>).
- [41] I T . D rummond and S J . H athrell, Phys. Rev. D 22, 343 (1980).
- [42] N G . Sanchez, J. Math. Phys. 17, 688 (1976); ibid. Phys. Rev. D 16, 937 (1977).
- [43] A . Accioly and R . Paszko, Semiclassical corrections to the gravitational interaction of the photon, Classical and Quantum Gravity (em julgamento).
- [44] H C . Ohanian and R . Rubin, Gravitation and Spacetime (W W . Norton & Company, New York-London, 1994).
- [45] R . Aldrovandi, P . Barros, and J. Pereira, Found. Phys. 33, 545 (2003).

- [46] C. Lammerzahl, *Gen. Rel. Grav.* 28, 1043 (1996); *ibid. Acta Phys. Polon.* 29, 1057 (1998).
- [47] G. Amelino-Camelia, *Lect. Notes Phys.* 541, 1 (2000).
- [48] R. Colella, A. Overhauser, and S. Werner, *Phys. Rev. Lett.* 34, 1472 (1975).
- [49] D. Greenberger, *Ann. Phys.* 47, 116 (1968).
- [50] E. Fischbach et al., *Phys. Rev. Lett.* 56, 3 (1986).
- [51] P. Nelson, D. Graham, and R. Newman, *Phys. Rev. D* 42, 963 (1990).
- [52] URL: <http://maxim.gsfc.nasa.gov/>
- [53] R. Aldrovandi, J. Pereira, and K. Vu, *Gen. Rel. Grav.* 36, 101 (2004).
- [54] R. Hammoud, *Rep. Prog. Phys.* 65, 599 (2002).
- [55] R.H. Daltz, *Proc. Roy. Soc. A* 206, 509 (1951).
- [56] T. Toma, *Low-Energy Dynamics of gravitation* (Ph.D. Thesis, Massachusetts U., Amherst, 1997).
- [57] P.A. Collins, R. Delbourgo and R.M. Williams, *J. Phys. A* 6, 161 (1973).
- [58] E. Fischbach and B.S. Freeman, *Phys. Rev. D* 22, 2950 (1980).
- [59] R.M. Wald, *General Relativity* (University of Chicago Press, Chicago, 1984).
- [60] R.A. Matzner, *J. Math. Phys.* 9, 163 (1968).
- [61] L.D. Landau and E.M. Lifshitz, *Mécanique Quantique* (Mir, Moscow, 1966).
- [62] A. Accioly and R. Paszko, *Gravitational dection via the JWKB method*, *International Journal of Modern Physics Letters A* (em julgamento).